# Météorologie

COURS 1
INTRODUCTION
PANORAMA DES PHÉNOMÈNES
MÉTÉOROLOGIQUES

L3 et Diplôme de l'ENS: Sciences de la Planète Terre

B. Legras, legras@lmd.ens.fr, http://www.lmd.ens.fr/legras

## PLAN DU COURS

## Introduction

A L'atmosphère stratifiée

(stabilité, convection sèche et humide)

B Le bilan radiatif

(lois du transfert radiatif, effet de serre)

C L'atmosphère dynamique

(vent gradient, météorologie des latitudes tempérées, éléments de météorologie tropicale)

## Introduction

I L'atmosphère stratifiée

(composition et distribution de température)

II Les nuages

III Le bilan radiatif

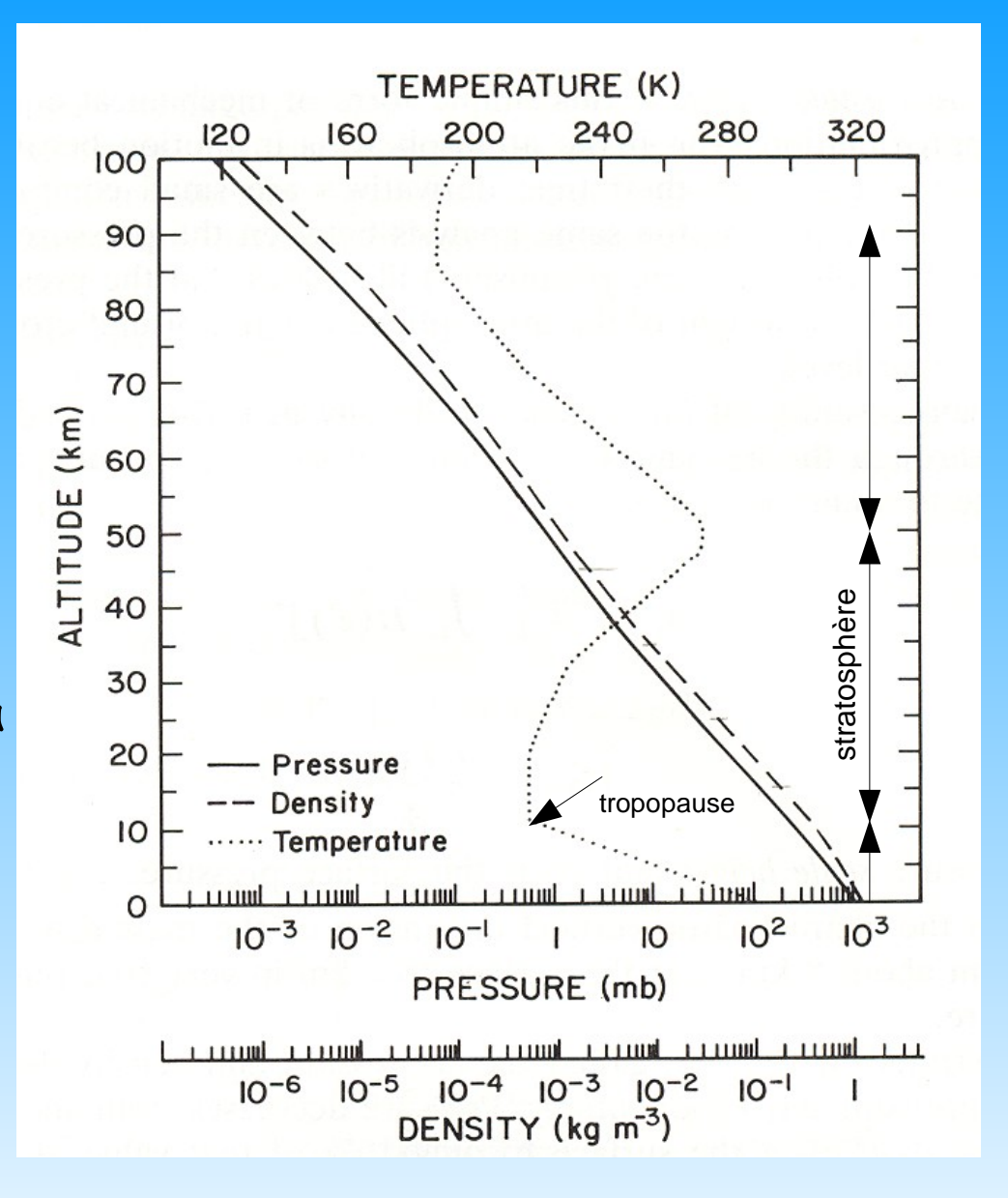
IV Circulation atmosphérique de grande échelle

V Les cyclones tropicaux

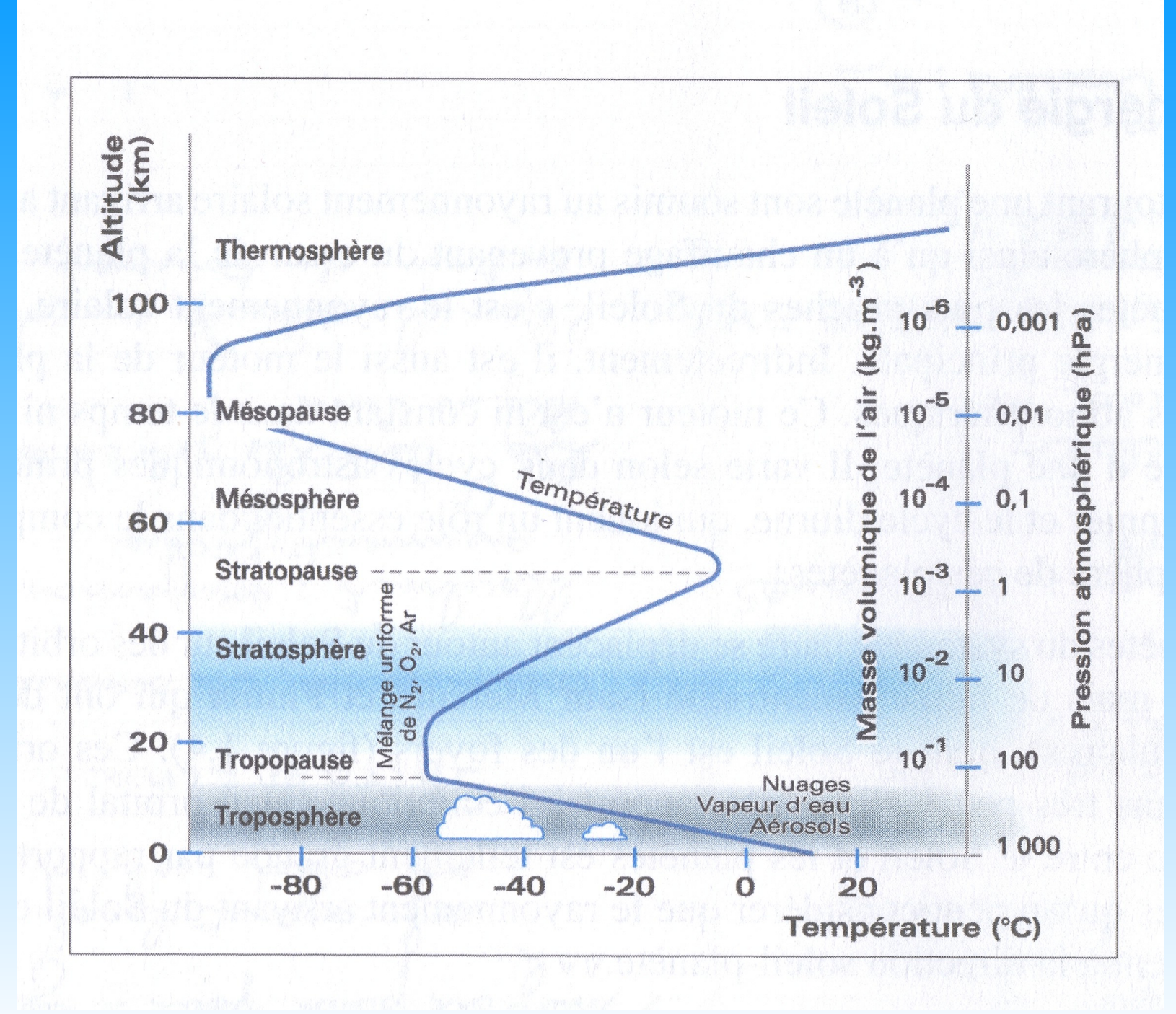
#### I.1 Stratification et composition

#### L'atmosphère est stratifiée:

- Décroissance exponentielle de la pression et de la densité du sol jusqu'à 100 km
- Plusieurs couches distinguées par le profil de température
   Troposphère de 0 à 12 km (18 km sous les tropiques)
  - Stratosphère au dessus jusqu'à
    50 km
  - Mésosphère de 50 à 90 km
  - 90% de la masse en dessous de 20 km
  - Densité standard (à 1013 hPa et 273K):  $\rho$ =1,29 kg m<sup>-3</sup>



La troposphère et la stratosphère sont séparées par la tropopause



# Composition de l'atmosphère\*

Azote N<sub>2</sub> 0,7808 homogène

Oxygène  $O_2$  0,2095 homogène

Eau H<sub>2</sub>O <0,030 très variable

Argon A 0,0093 homogène

CO<sub>2</sub> 345 ppmv homogène

Ozone O<sub>3</sub> 10 ppmv stratosphère

Méthane CH<sub>4</sub> 1,6 ppmv décroît avec z

Oxyde nitreux  $N_2O$  350 ppbv décroît avec z

CO 70 ppbv

NO, CFC-11, CFC-12 < 0,3 ppbv

masse molaire moyenne M=28,96 g

\*: la composition est indiquée en rapport de mélange en volume

#### Note complémentaire: Définition des rapports de mélange

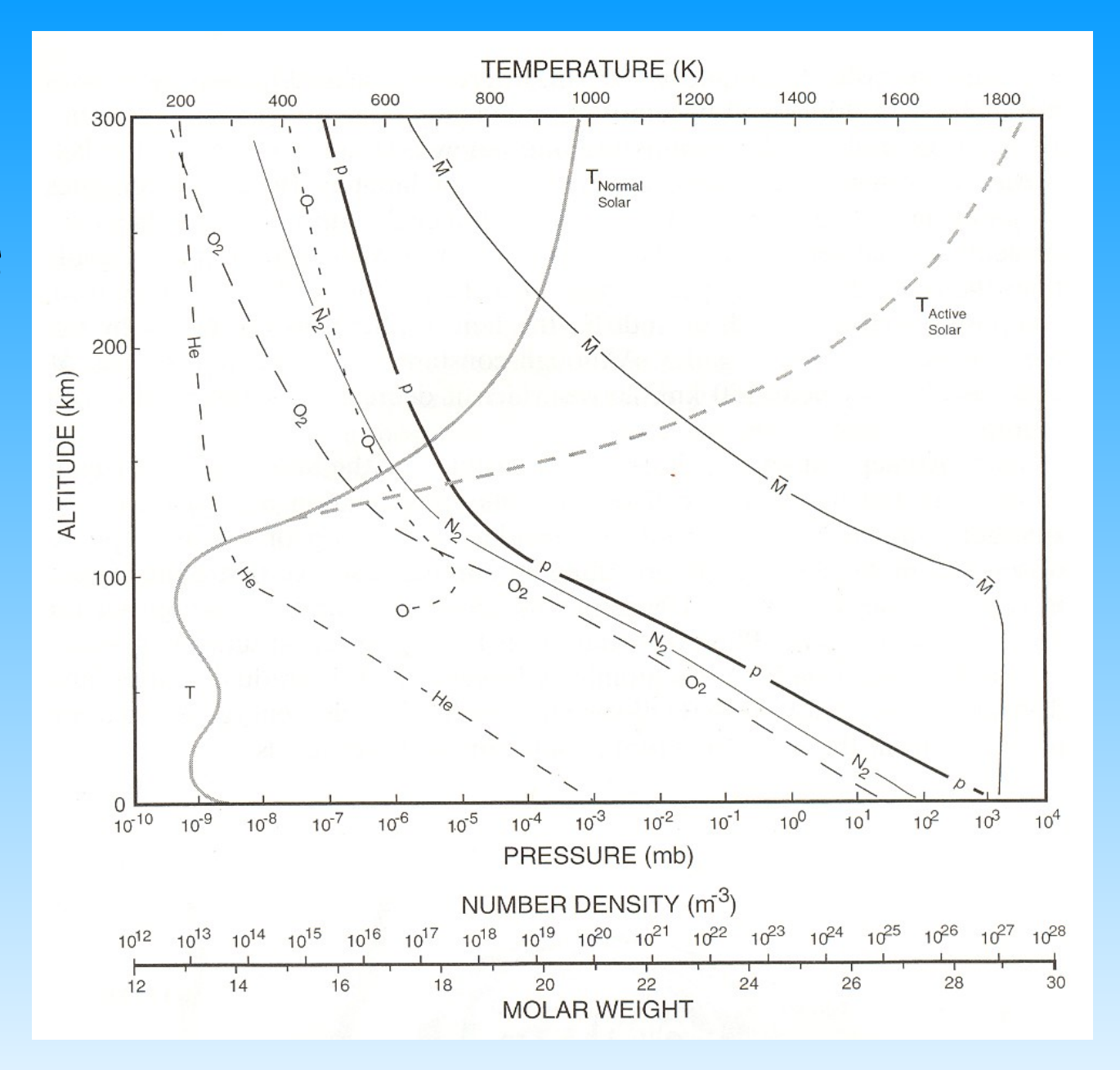
Les proportions de gaz dans l'air sont exprimés en rapports de mélange en volume ou en masse. On prend comme référence un air sec (sans eau) dont la masse molaire est  $M_d$ =28,96 g et la densité  $\rho_d$ . Pour un gaz mineur de masse molaire M dont la densité est  $\rho_d$ , le rapport de mélange en masse est  $r_m = \rho/\rho_d$ . On lui préfère parfois le rapport de mélange en volume défini comme le rapport de la pression partielle p à la pression de l'air sec  $p_d$ ,  $r_v = p/p_d$ . La relation entre les deux rapports est donnée par  $r_v = r_m M_d/M$ . Le rapport de mélange en volume indique la proportion du gaz mineur en nombre de molécules par rapport au nombre de molécules d'air sec. Lorsque cette proportion est très petite on utilise des facteurs multiplicatifs et on note le rapport de mélange en ppmv (parties par million en volume  $\Leftarrow$ facteur  $10^6$ ), ou ppbv (parties par milliard (« billion » en anglais) en volume  $\Leftarrow$ facteur  $10^9$ ) ou même en pptv (partie par trillion en volume  $\Leftarrow$ facteur  $10^{12}$ ).

Seule l'eau, dont le rapport de mélange en volume peut atteindre 0,03 dans les régions tropicales les plus chaudes et humides, est capable de changer de façon sensible la masse vomumique de la parcelle d'air. Les autres composés mineurs variables sont en trop faible quantité pour affecter la masse volumique.

Traditionnellement, c'est le rapport de mélange en masse qui est utilisé pour l'eau et les propriétés thermodynamiques de l'air humide. Par contre, ce sont les rapports de mélange en volume qui sont utilisés en chimie atmosphérique.

La composition de l'atmosphère en composants majeurs  $(N_2, O_2)$  varie peu jusqu'à 100 km.

Il existe par contre de fortes variations des composants mineurs  $(H_2O, O_3, ...)$ 



### I.2 Thermodynamique de l'air sec

Loi du gaz parfait

$$p = \rho RT où R = 287 J kg^{-1} K^{-1}$$

- Enthalpie du gaz parfait  $H = C_p$  T où  $C_p = 1005$  J kg<sup>-1</sup> K<sup>-1</sup>, capacité thermique par unité de masse à pression constante. H ne dépend que de la température
- A pression constante, pour une transformation quasi-statique:

$$\delta Q = C_p dT = dH = T dS$$
 (S: entropie)

· Plus généralement

$$\delta Q = T dS = dU + p d(1/\rho) = dH - 1/\rho dp$$

$$= C_p dT - 1/\rho dp = C_p dT - RT/p dp = C_p (T/\theta) d\theta$$
où on introduit la température potentielle

$$\theta = T(p_0/p)^{\kappa} \text{ avec } \kappa = R/C_p = 2/7$$

### I.3 Loi hydrostatique et stratification

Selon la verticale, l'air est essentiellement en équilibre hydrostatique: en moyennant sur un pavé horizontal de quelques km², la vitesse verticale est de l'ordre de quelques cm/s et l'accélération verticale est négligeable par rapport à la gravité.

Loi hydrostatique

$$dp/dz + \rho g = 0$$

En combinant avec la loi du gaz parfait, on obtient dp/p = -g/RT dz et, pour une température uniforme (simplification grossière mais pertinente)  $T_0 = 255 \, \text{K}$ , on obtient

$$p = p_0 \exp(-z/H)$$

avec H =  $RT_0/g \approx 7.4$  km, <u>hauteur d'échelle</u>.

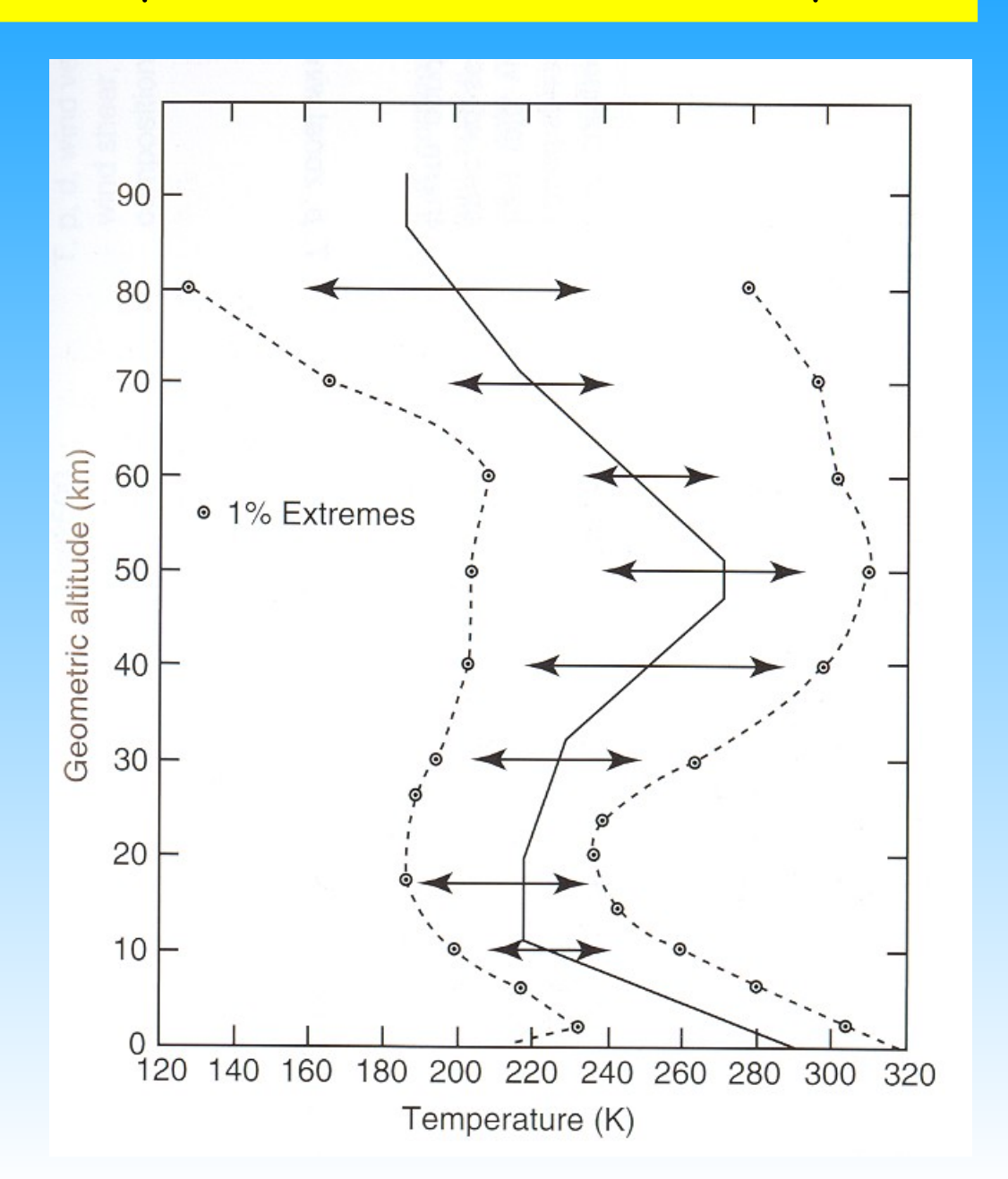
La pression diminue de moitié tous les 5 km (car H ln(2) ≈ 5 km)

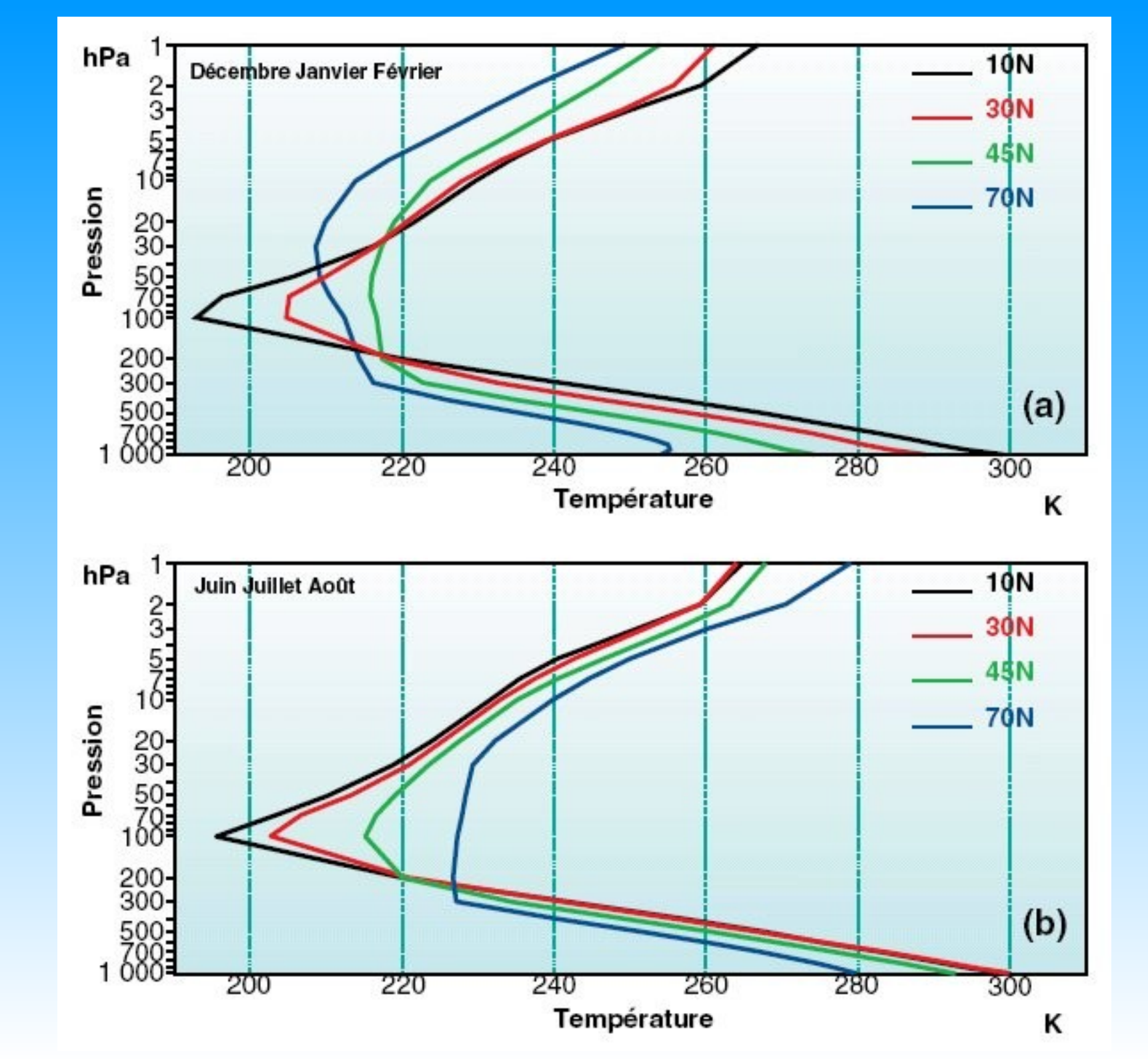
Le profil de température n'est pas explicable par des lois simples. Il dépend de l'équilibre radiatif (absorption et émission) et du transport vertical de chaleur par les mouvements de l'atmosphère.

# I.4 Distribution de la température

Variations du profil de température vertical

- Au sol, variations de 100 K mais 50 K en moyenne entre pôle et équateur
- Les températures dans la région de la tropopause varient plus faiblement mais atteignent de très basses valeurs (190 K). Très basses températures aux pôles en hiver dans la basse stratosphère mais aussi à la tropopause tropicale.





# Introduction

I L'atmosphère stratifiée

II Les nuages

III Le bilan radiatif

IV Circulation atmosphérique de grande échelle

V Les cyclones tropicaux

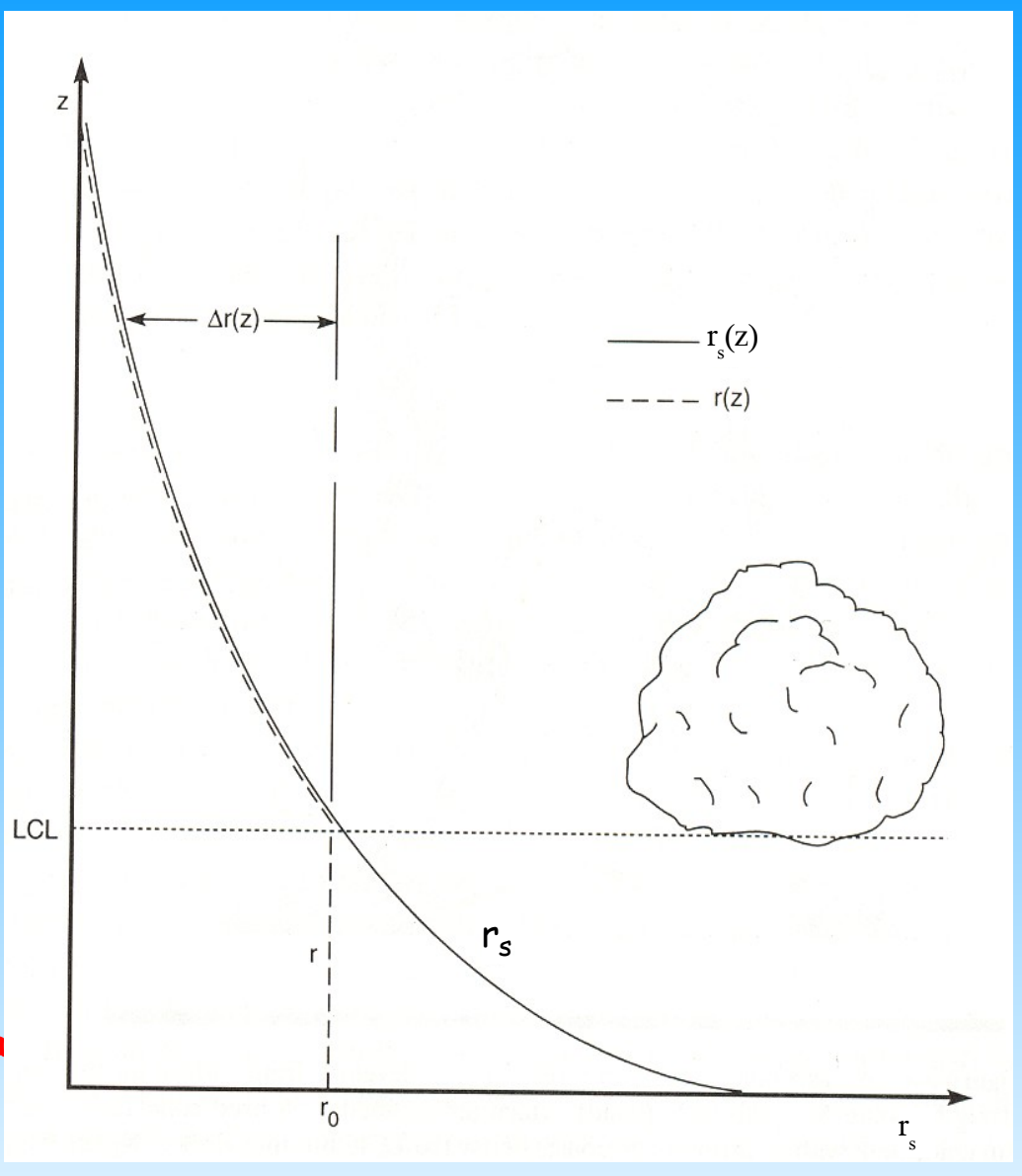
# II.1 Condensation de l'humidité

On caractérise la vapeur d'eau présente dans l'air, soit par sa pression partielle e, soit par son rapport de mélange en masse  $r = \rho_v/\rho = (e/p)(R/R_v)$ 

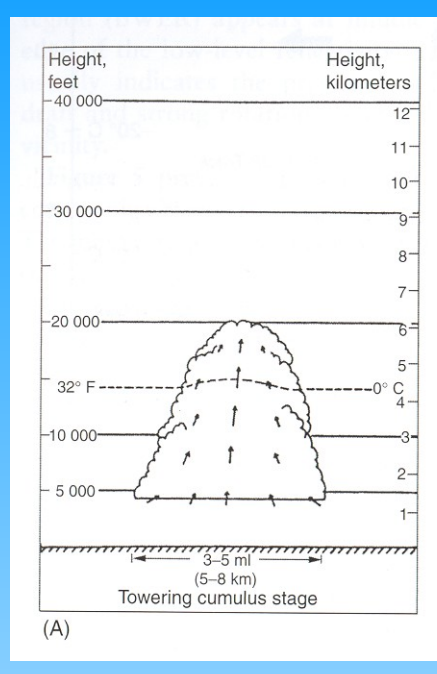
La pression partielle de saturation dépend de la température (loi de Clausius-Clapeyron). Le rapport de mélange saturant dépend de T et p:

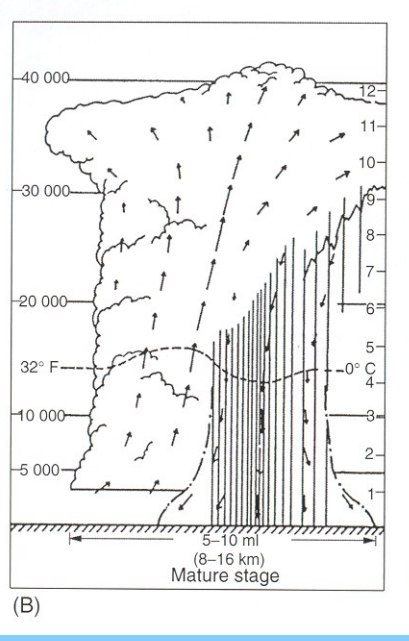
$$\frac{r_s}{r_{s0}} = \frac{p_0}{p} \exp\left[-\frac{L}{R_v} \left(\frac{1}{T} - \frac{1}{T_0}\right)\right]$$

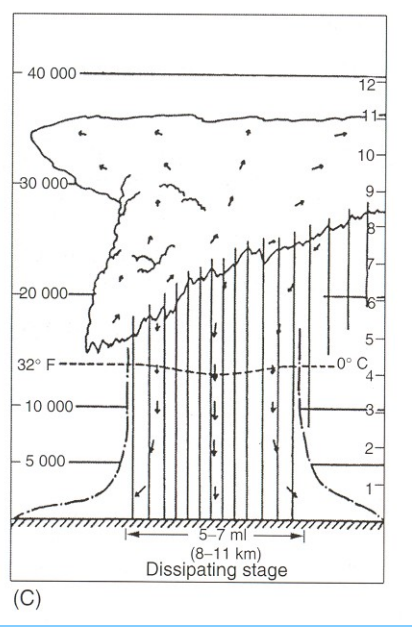
(le contenu en eau de l'atmosphère est divisé pa quatre ordres de grandeur entre le sol et 100 hPa)



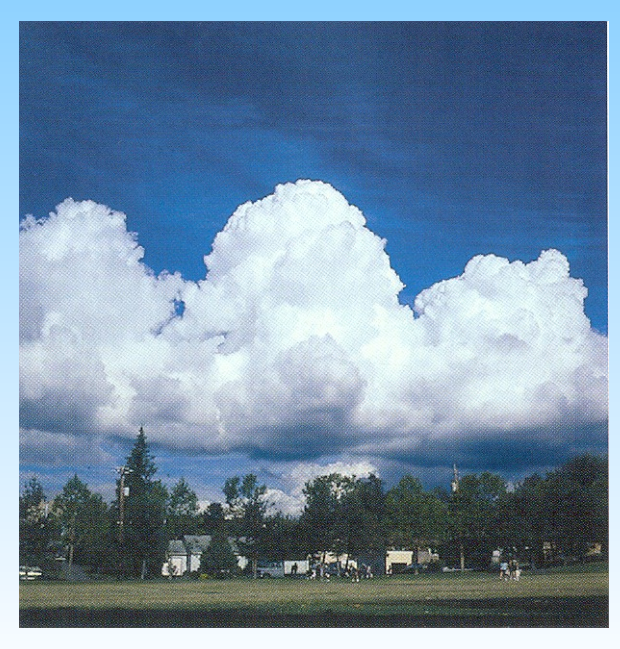
# II.2 Formation des nuages convectifs



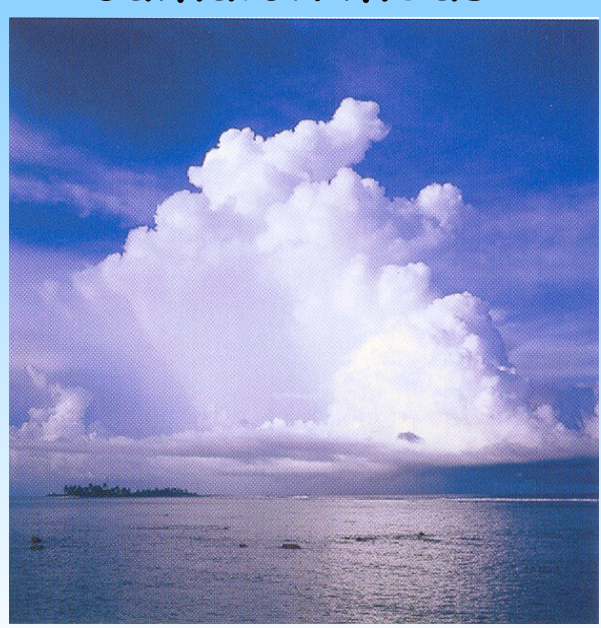




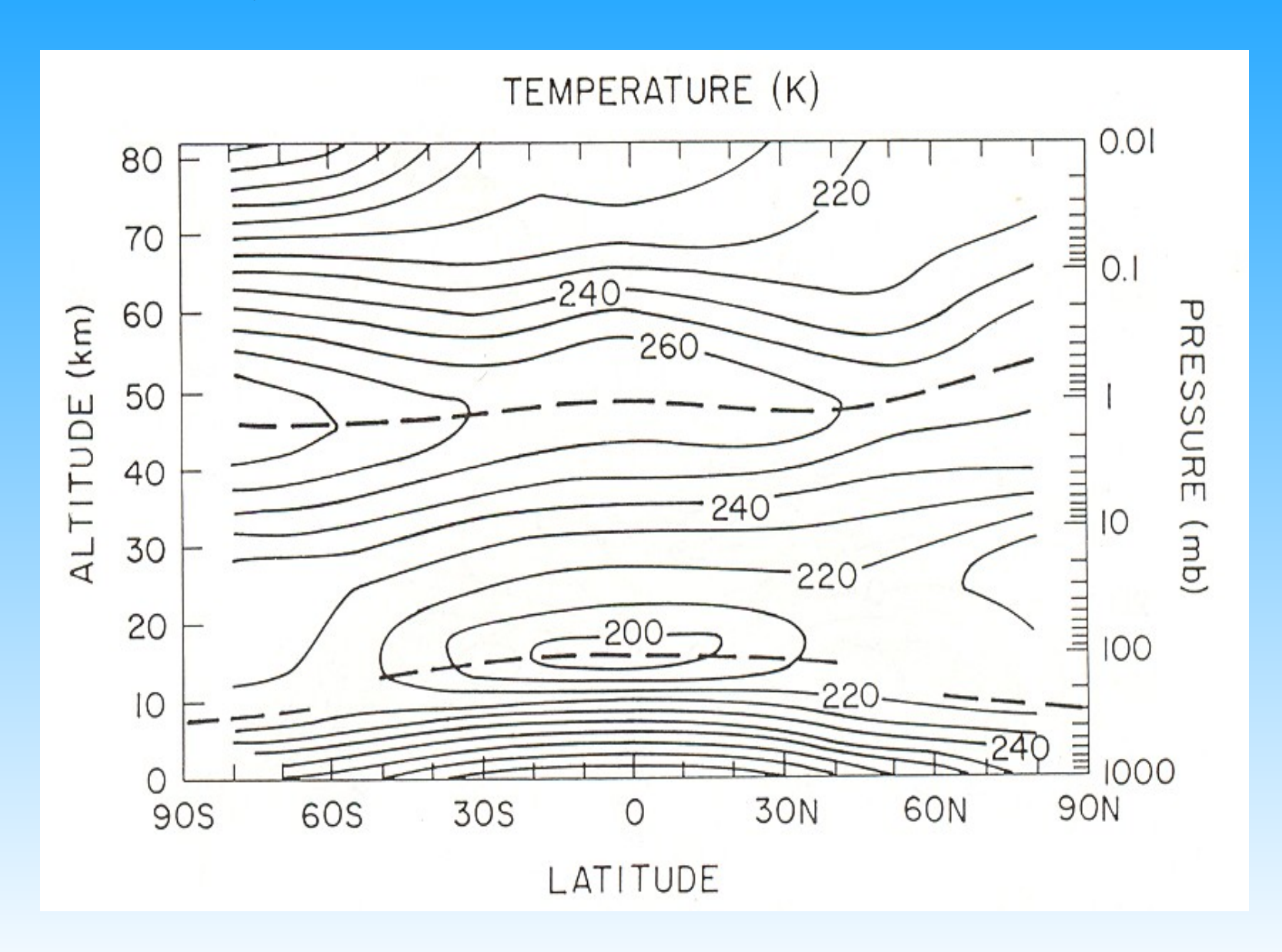
#### cumulus

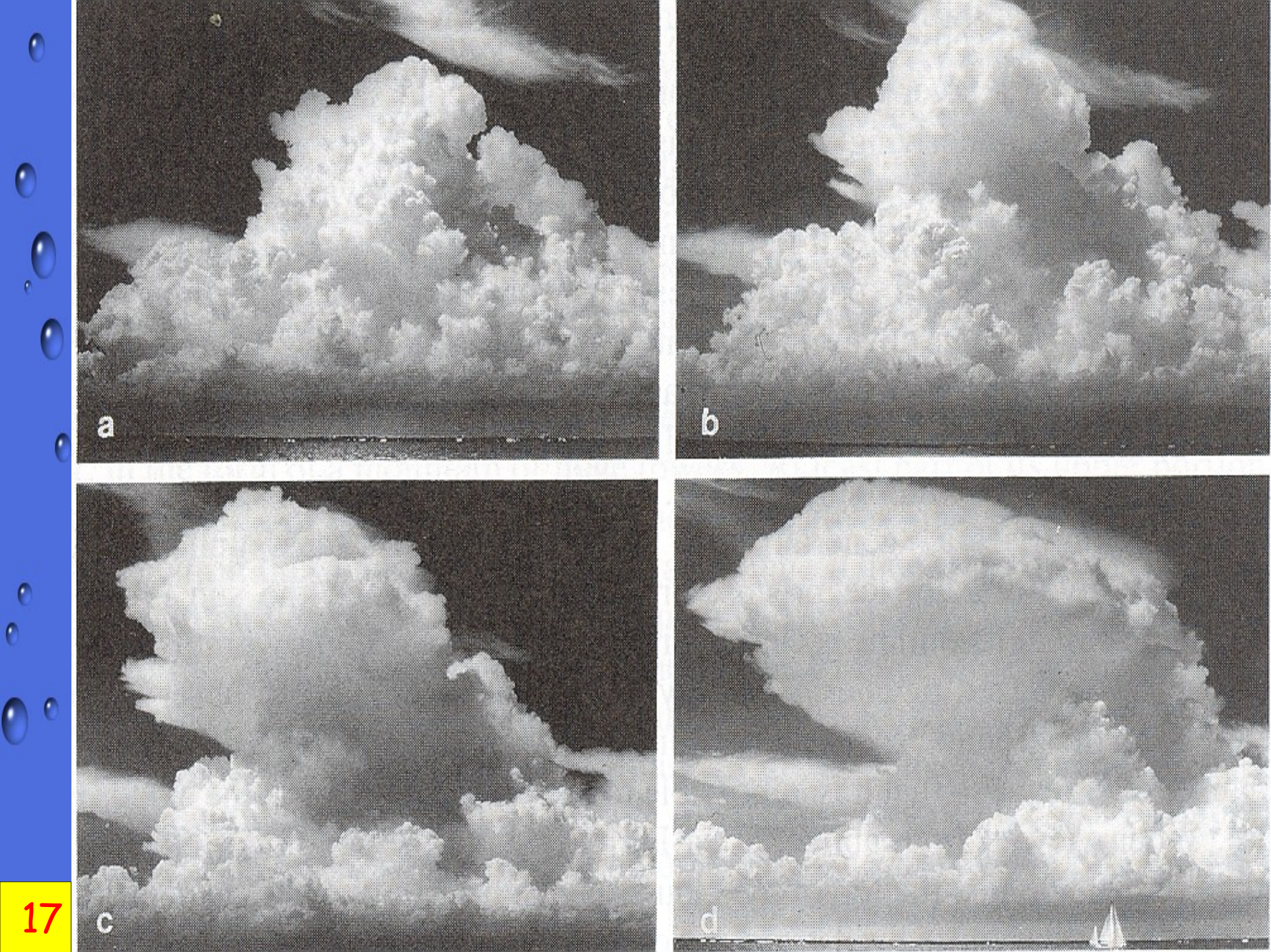


cumulonimbus



# Distribution méridienne de la température en moyenne annuelle





### II.3 Autres types de nuages

## Nuages d'altitude

#### Cirrus

composés de glace, rarement opaques, se forment au dessus de 6000m dans les latitudes tempérées, ils sont souvent précurseurs du passage du front chaud d'une perturbation



#### Alto-cumulus

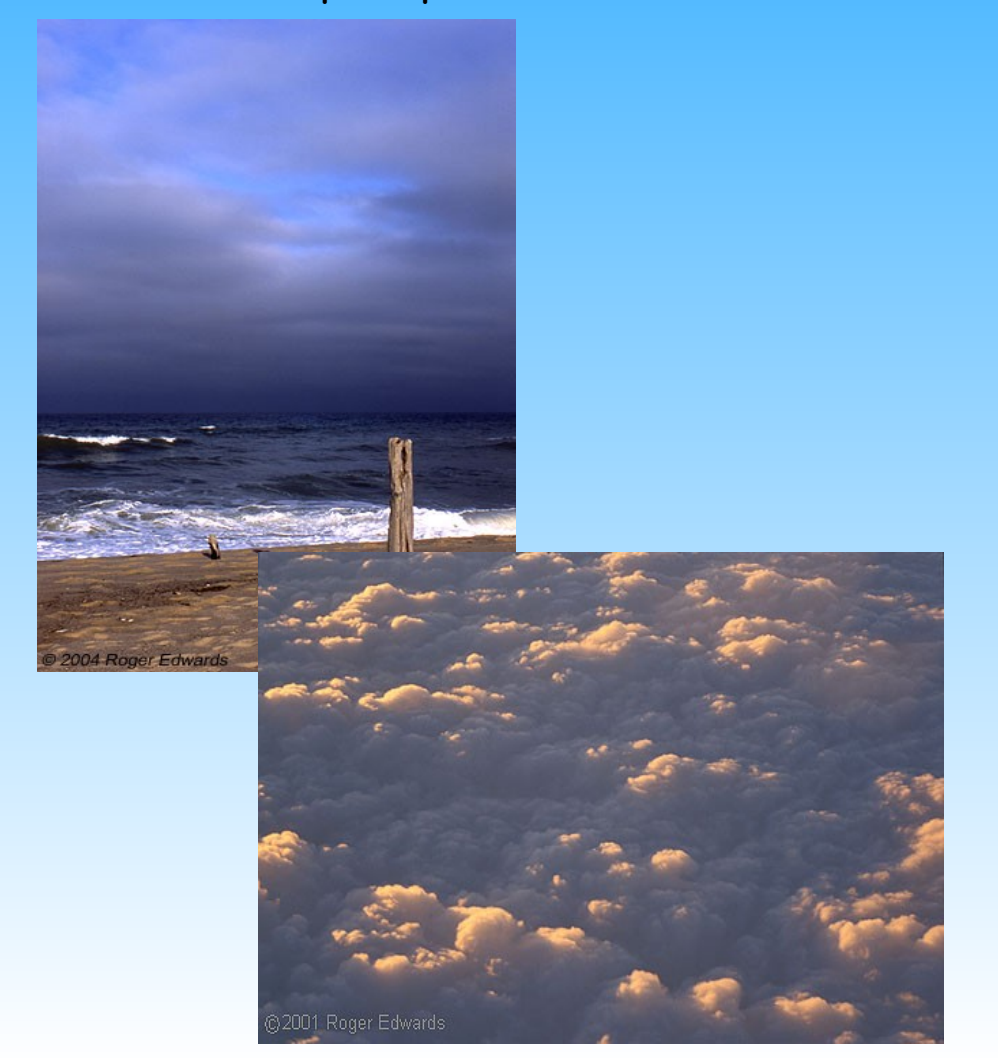
composés de goutelettes d'eau, entre 2000 et 6000m dans les latitudes tempérées, en troupeaux compacts, ils sont souvent, en été, précurseurs du développement de cumulo-nimbus et d'orages en fin de journée



# Autres types de nuages Nuages bas stratiformes

#### Strato-cumulus

composés de goutelettes d'eau, opaque ou très opaques, base en dessous de 2000m, associés à des précipitations faibles



#### Nimbo-stratus

nuages bas très opaques, base indéfinie, associés à des précipitations persistentes, neige par temps froid



#### Stratus

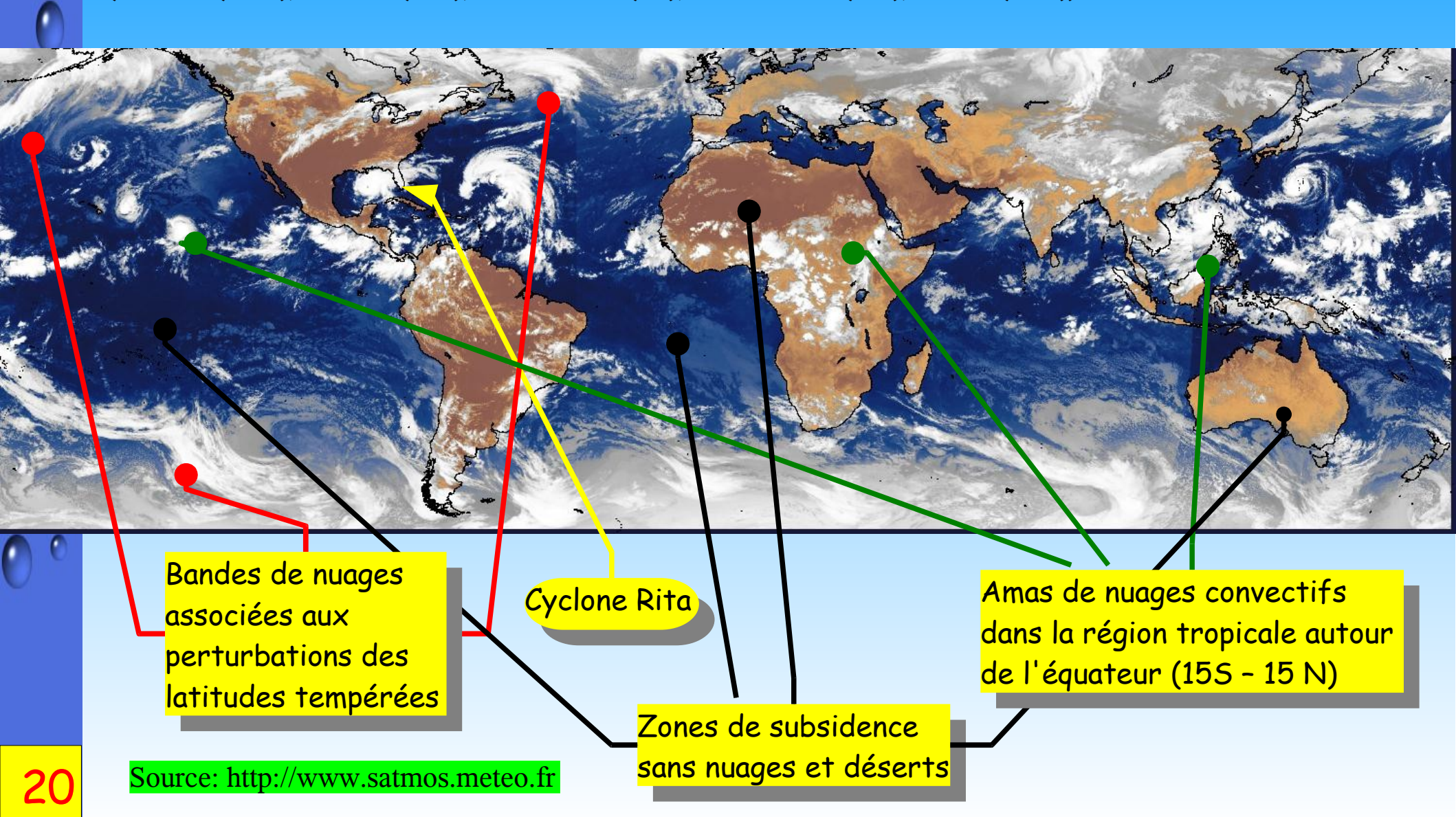
bancs de nuages faiblement opaques, base mal

définie en dessous de 2000m voire au sol (brouillards)



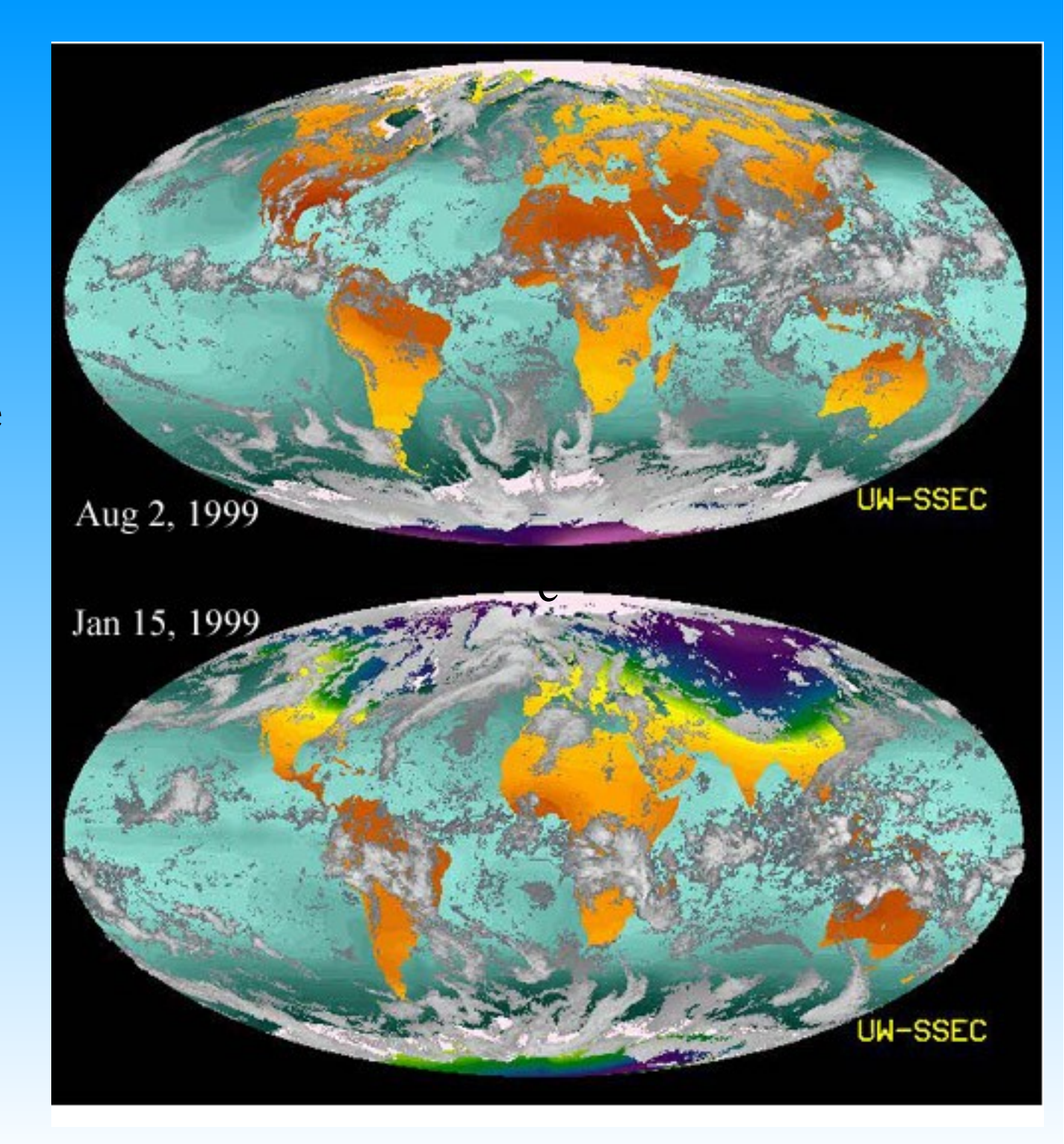
#### II.4 Organisation nuageuse à grande échelle

Image composite IR fausses couleurs, obtenue par compositage de 5 satellite géostationnaires en orbite 22/09/2005 18:00TU (GOES-10 (1350), GOES-12 (750), METEOSAT-7 (OE), METEOSAT-5 (63E), MTSAT (140E))



Couverture nuageuse données ISSCP

comparaison janvier-juillet



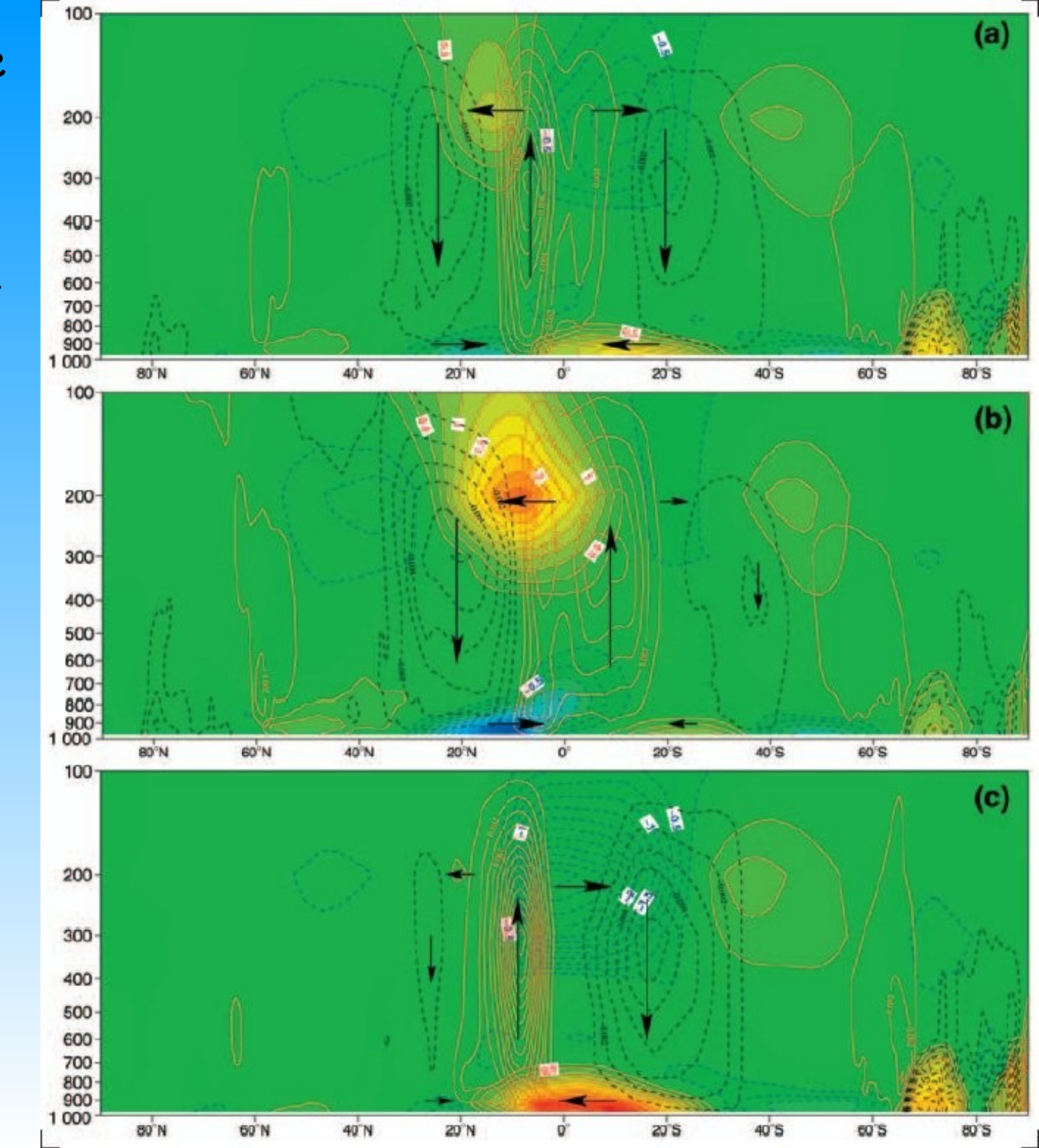
# II.5 Circulation de Hadley

Circulation moyennée en longitude, dans le plan méridien. Vent méridien:

rouge (du sud)
bleu (du nord)
Vent vertical
rouge (ascendant)
noir (descendant)

(a) moyenne annuelle(b) déc-jan-fév(c) juin-juil-août

source: ERA-40 S. Malardel



## Introduction

I L'atmosphère stratifiée

II Les nuages

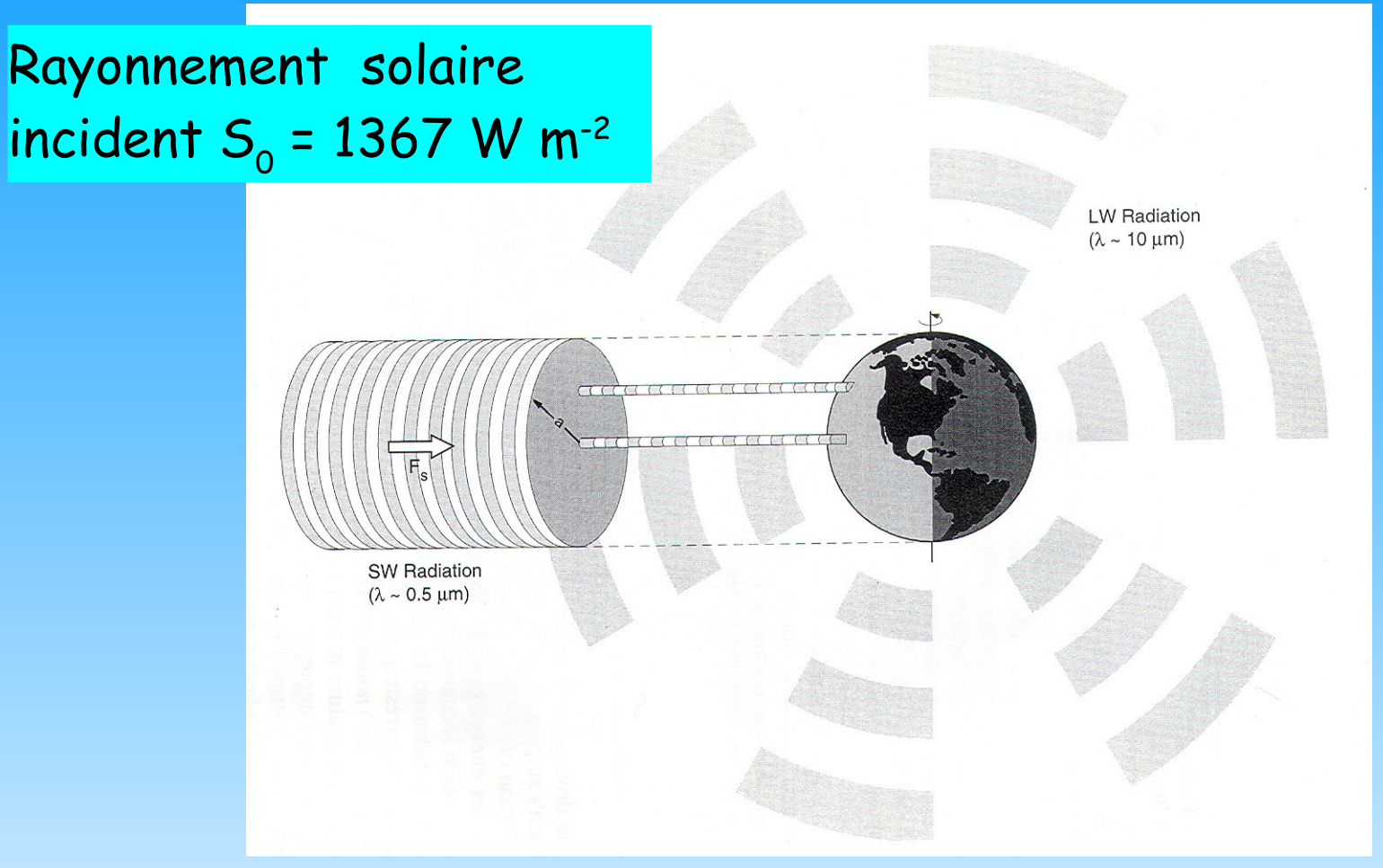
III Le bilan radiatif

(effet de serre)

IV Circulation atmosphérique de grande échelle

V Les cyclones tropicaux

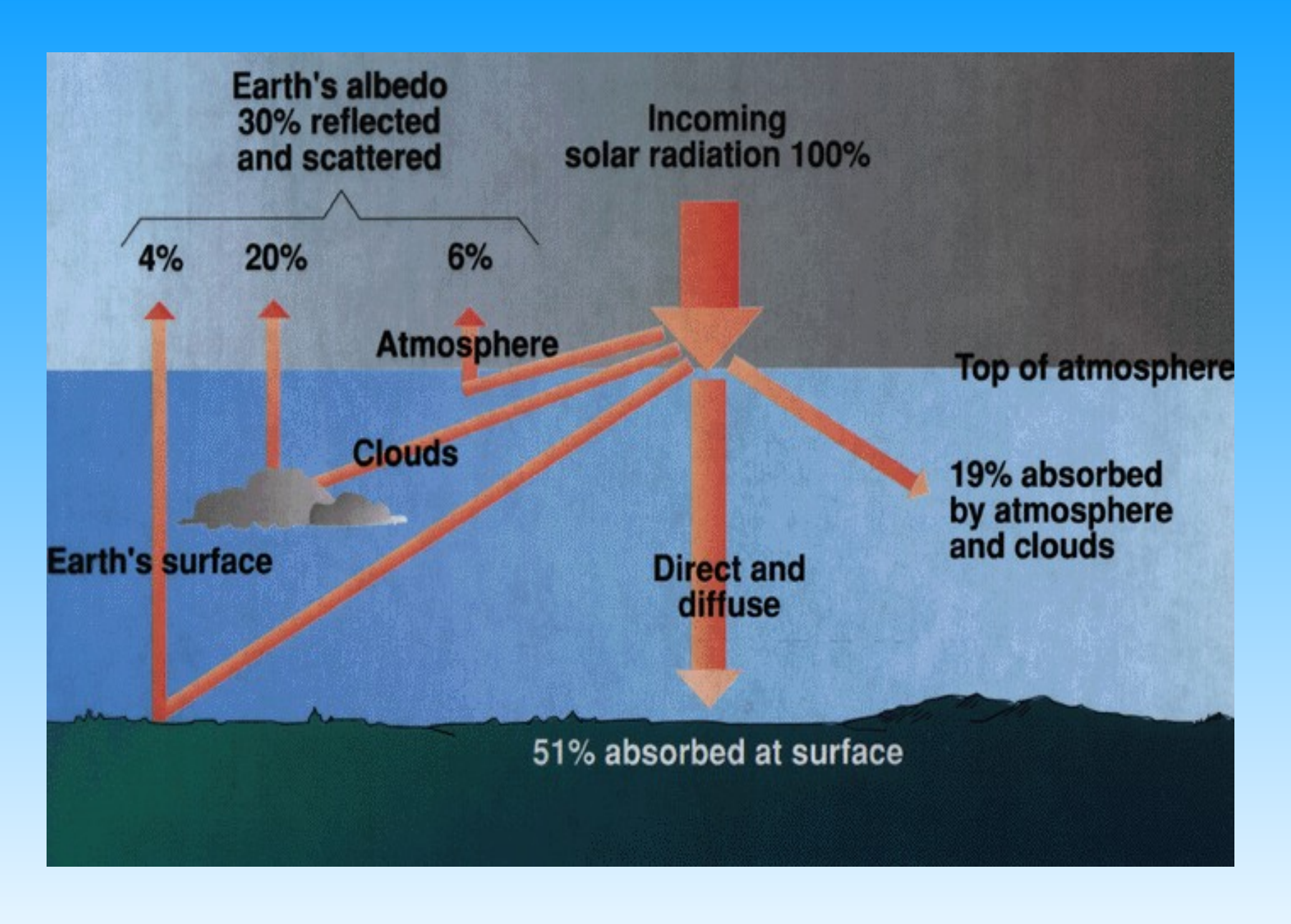
#### III.1 Flux solaire incident et rayonnement terrestre sortant

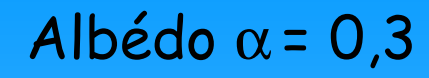


[Salby, 1996]

La Terre éclairée par le Soleil et renvoyant l'énergie dans l'espace.

#### III.2 Bilan du rayonnement incident sur la Terre





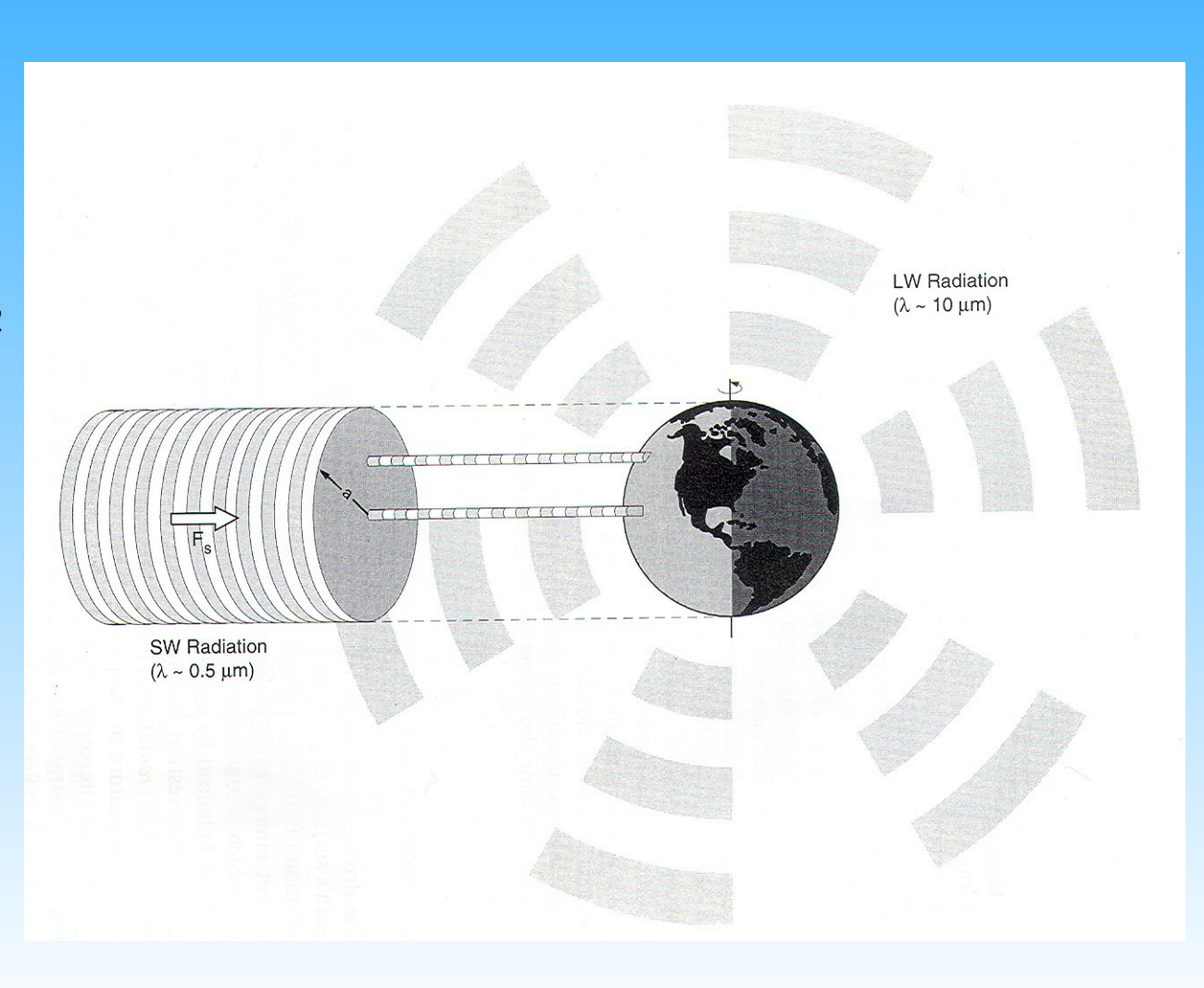
$$\frac{1}{4}S_0(1-\alpha) = \sigma T_e^4$$

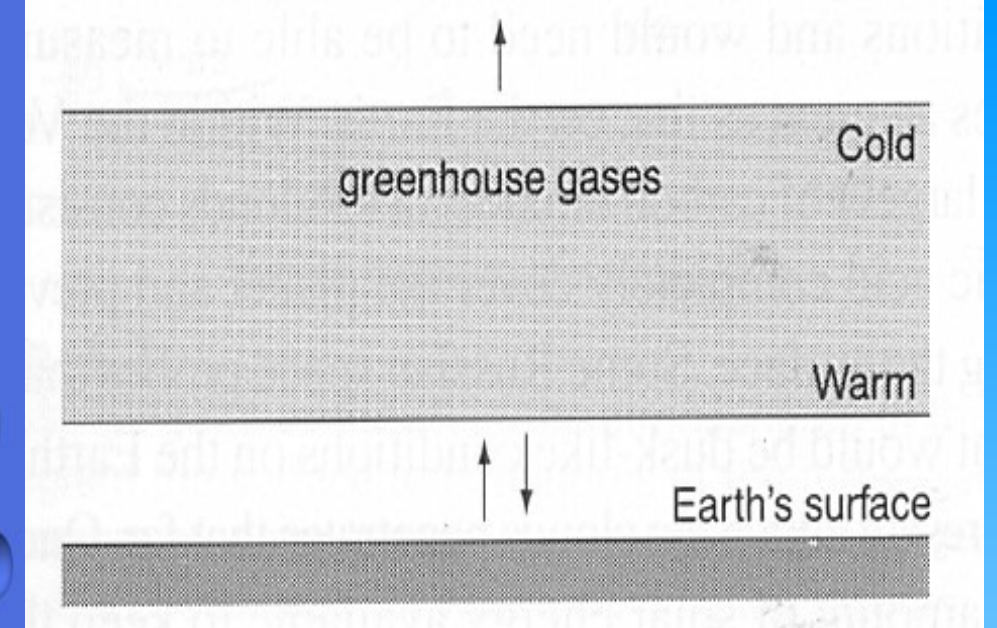
Température de la surface  $T_e = 255 \text{ K}$ 

# Rayonnement solaire incident $S_0 = 1367 \text{ W m}^{-2}$

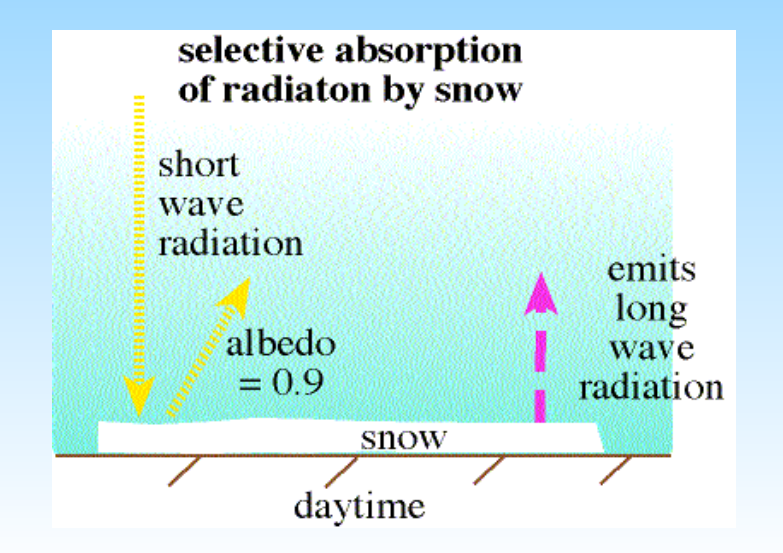
On admet ici qu'un corps « noir » à la température T émet par unité de surface une quantité d'énergie égale à  $\sigma T^4$  où  $\sigma$  est la constante de Stefan  $\sigma$ =5,67  $10^{-8}$  W m<sup>-2</sup> K<sup>-4</sup>.

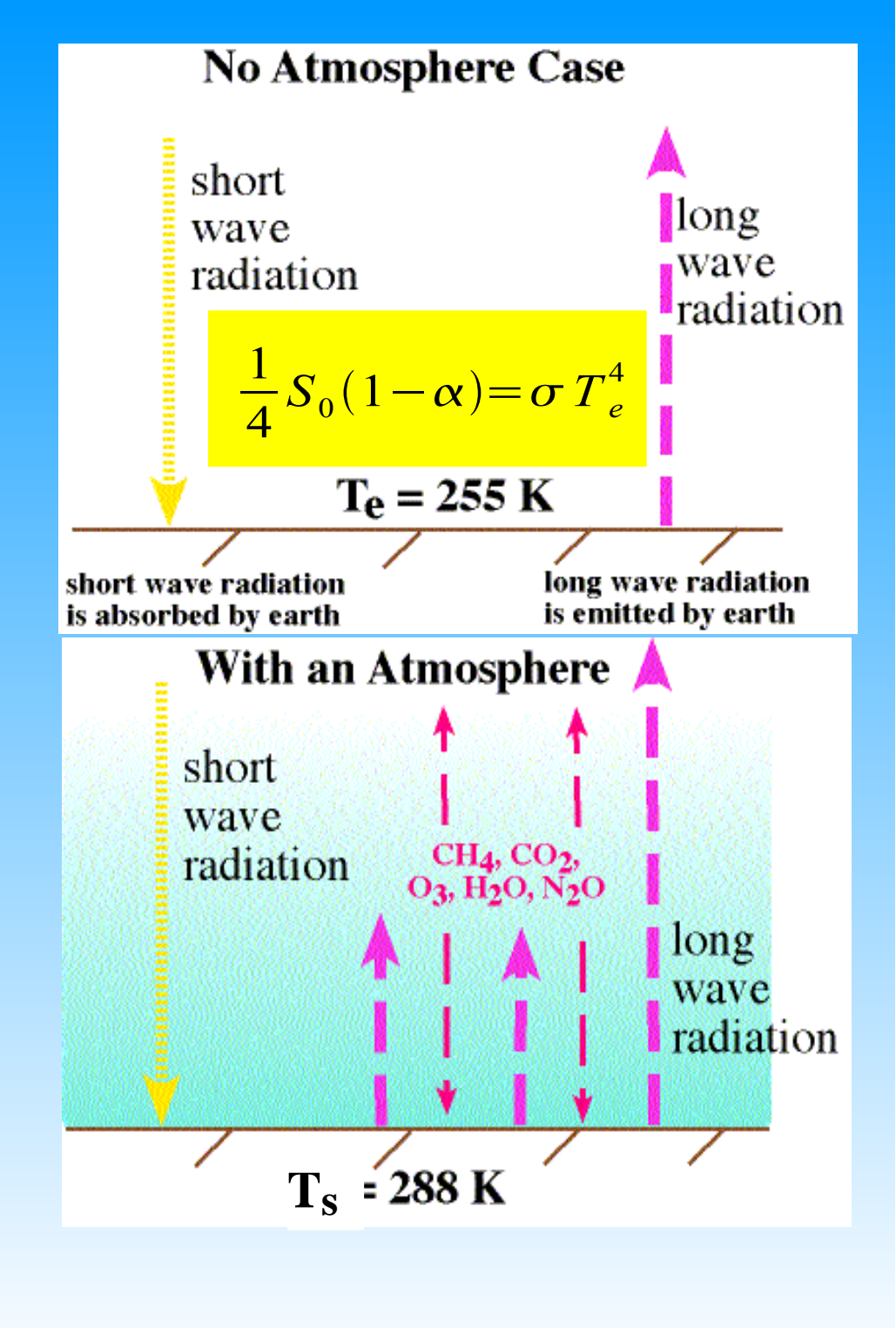
Note: en été, avec un soleil très haut et un ciel très clair, on peut atteindre presque 1000 W au sol, ce qui correspondrait à T=364 K.



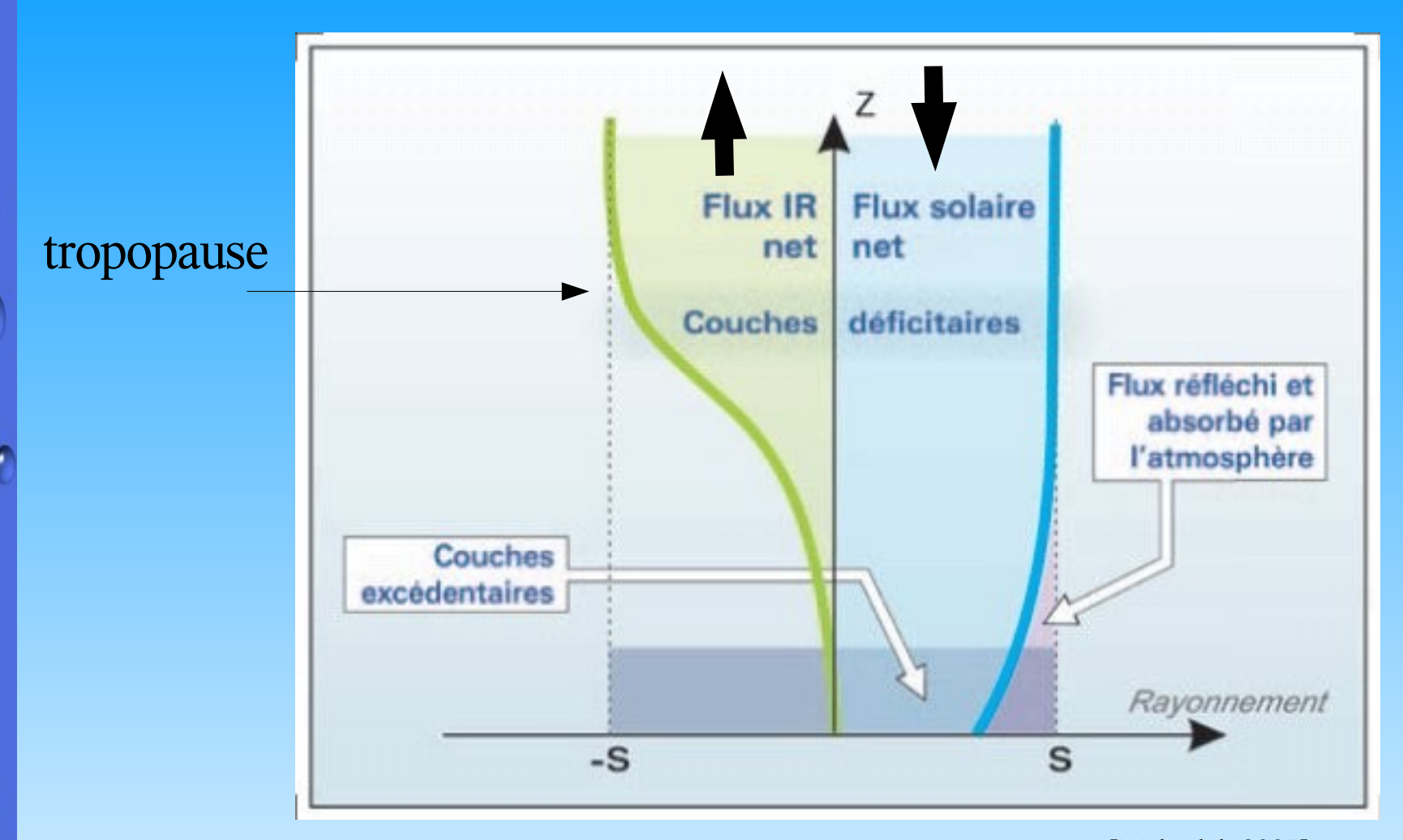


#### III.3 Effet de serre





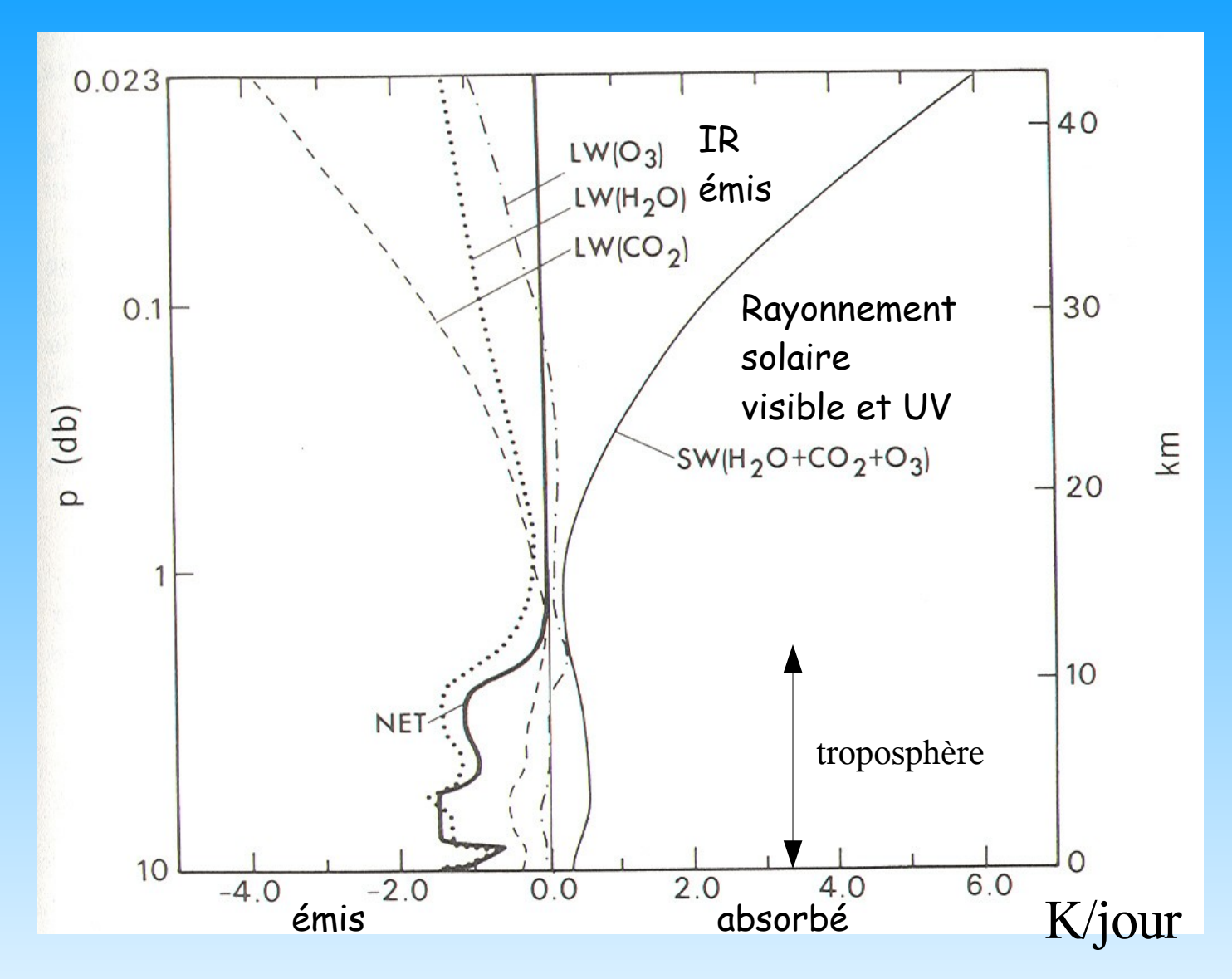
#### III.4 Bilan radiatif convectif



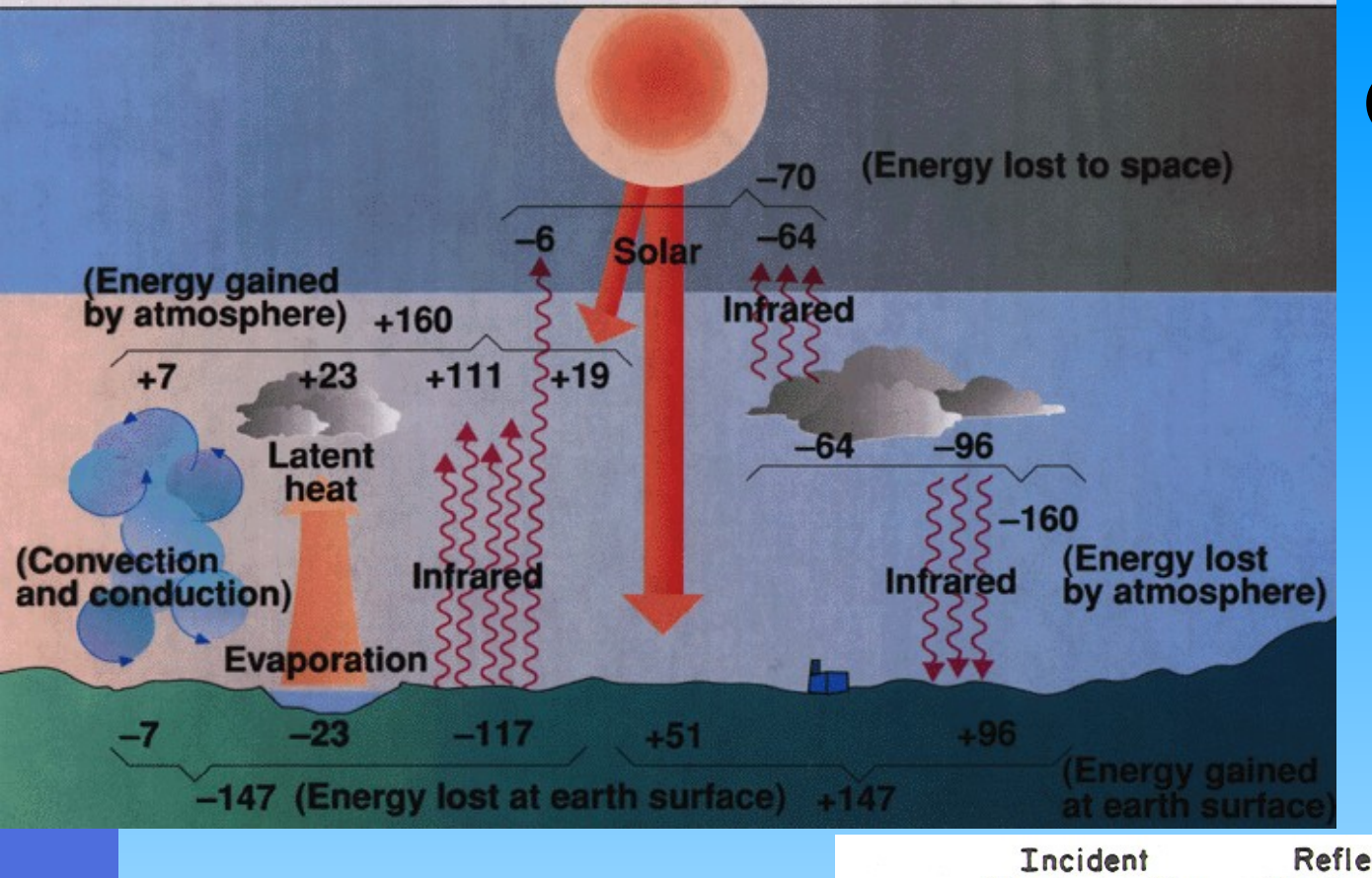
[Malardel, 2005]

Cependant, l'atmosphère réelle n'est pas en équilibre radiatif en dessous de la tropopause. Le flux montant d'énergie est assuré dans les basses couches par le transport convectif (de chaleur latente essentiellement)

#### Bilan radiatif selon une colonne verticale



La stratosphère est en équilibre radiatif (essentiellement absorption UV par O3 et émission IR par CO2). Dans toute la troposphère, le bilan radiatif est négatif, il y a transport vertical de chaleur par convection depuis le sol pour compenser.

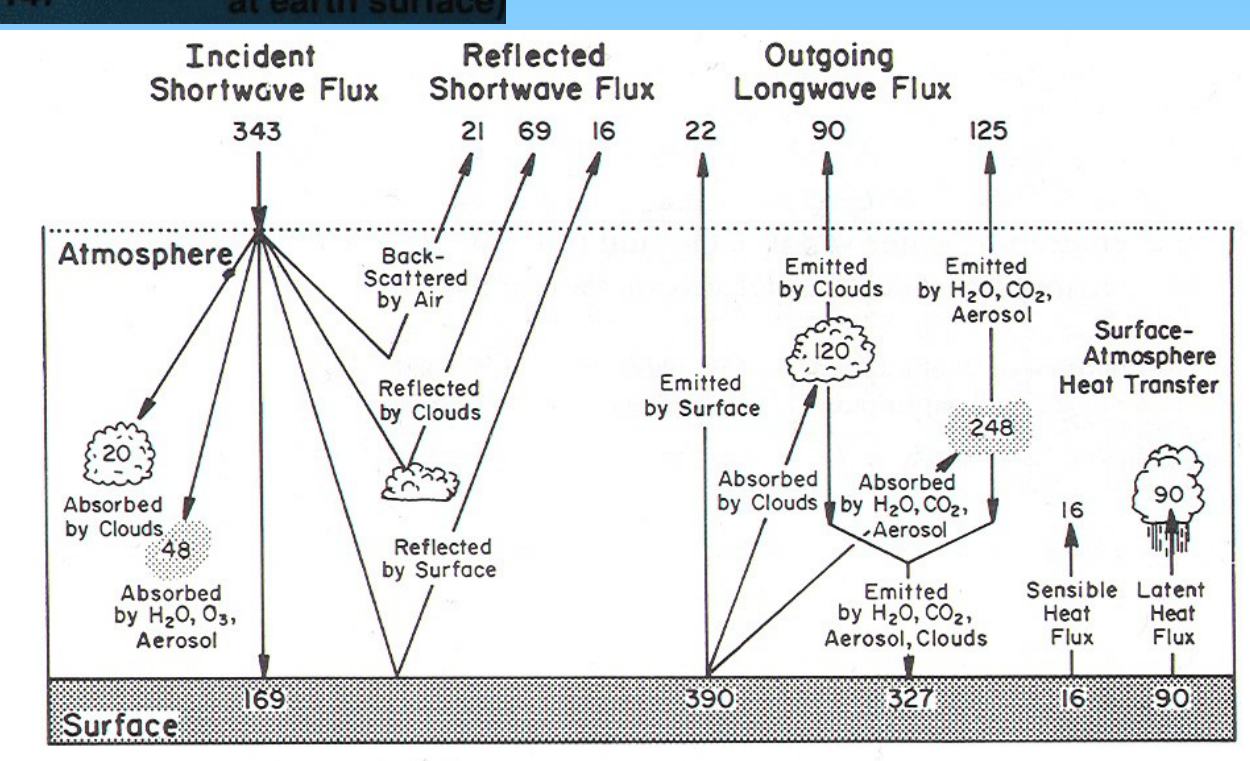


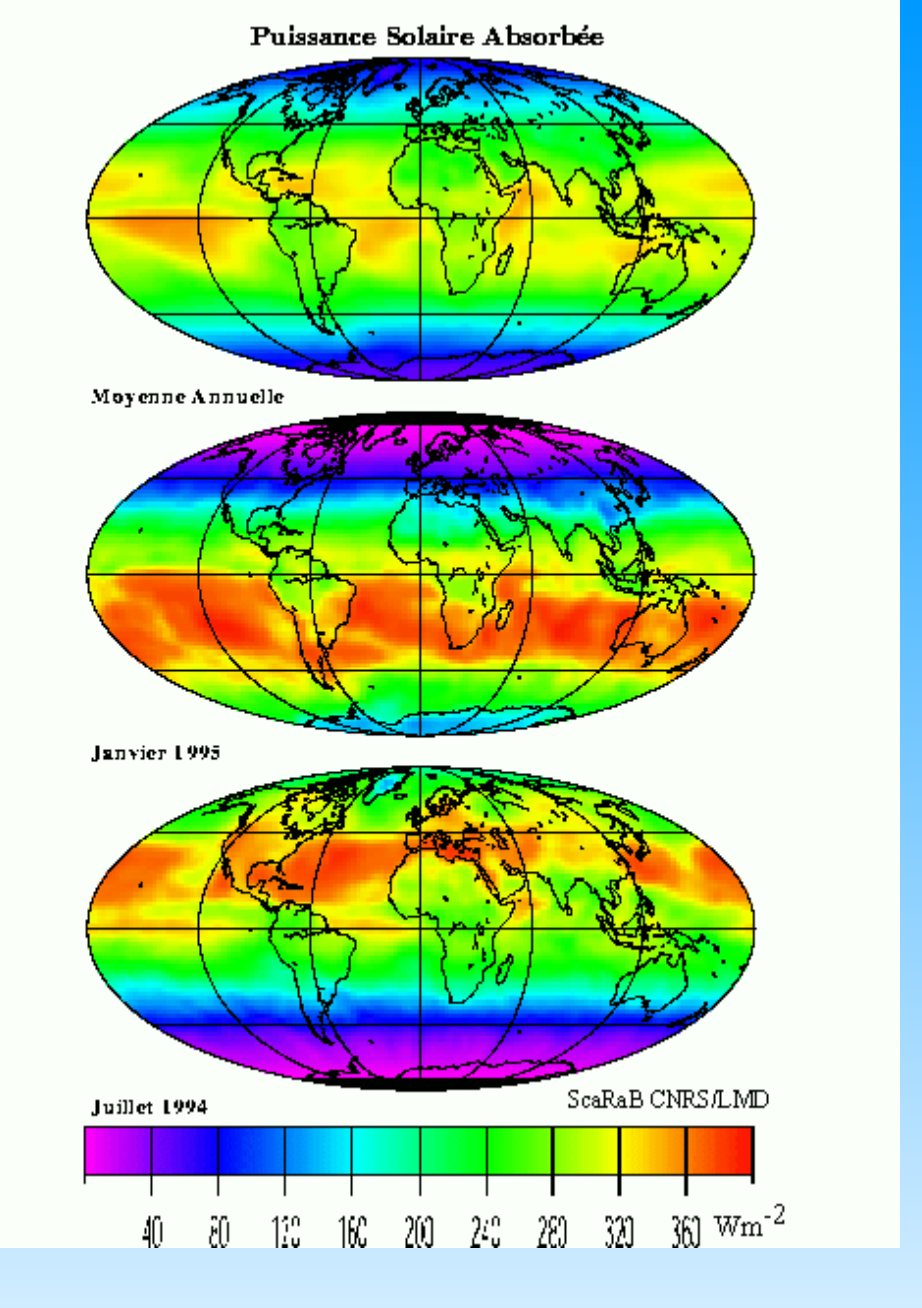
(en %)

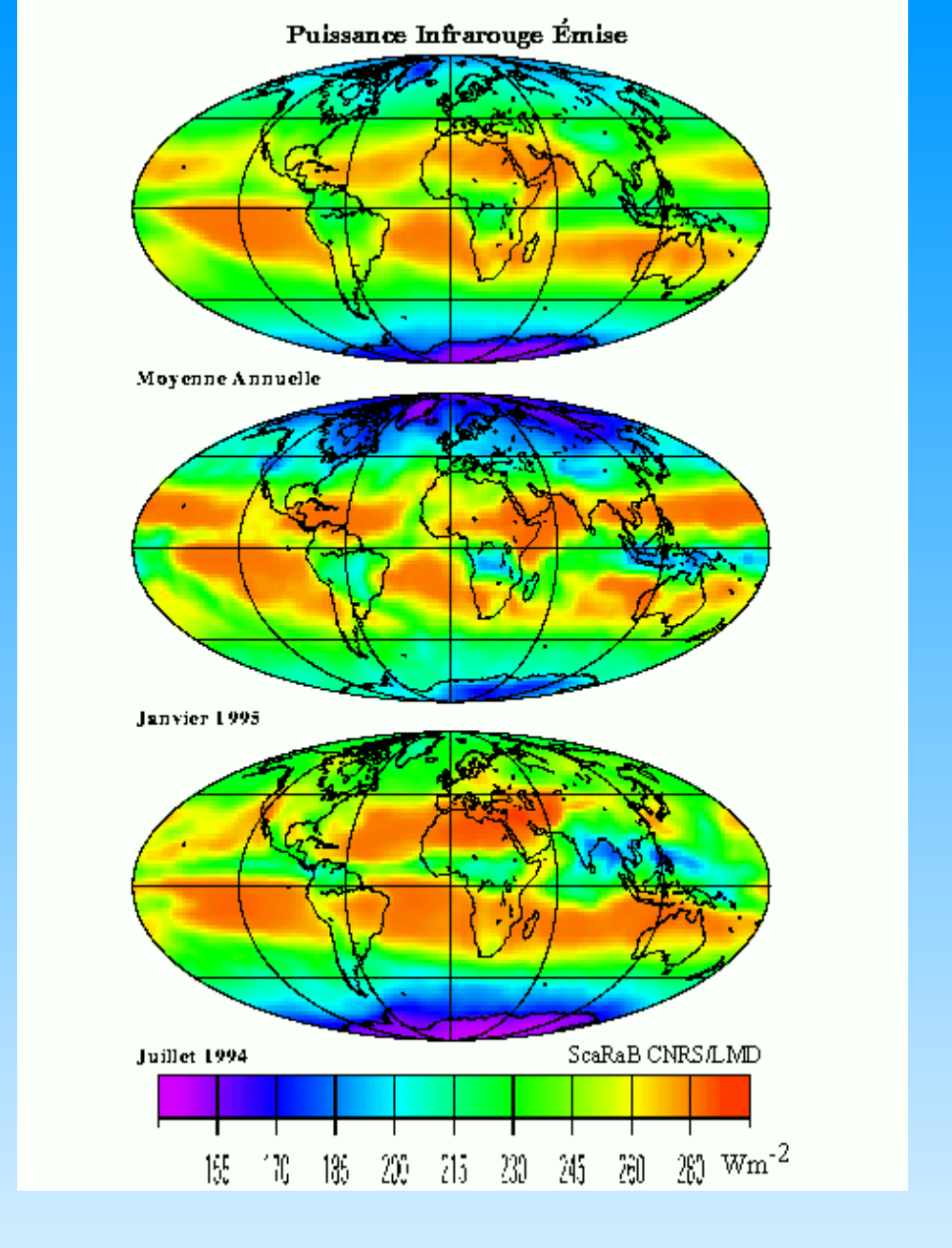
III.5 Bilan radiatif global

Rayonnement incident dans le visible Rayonnement émis dans l'IR

 $(en W/m^2)$ 

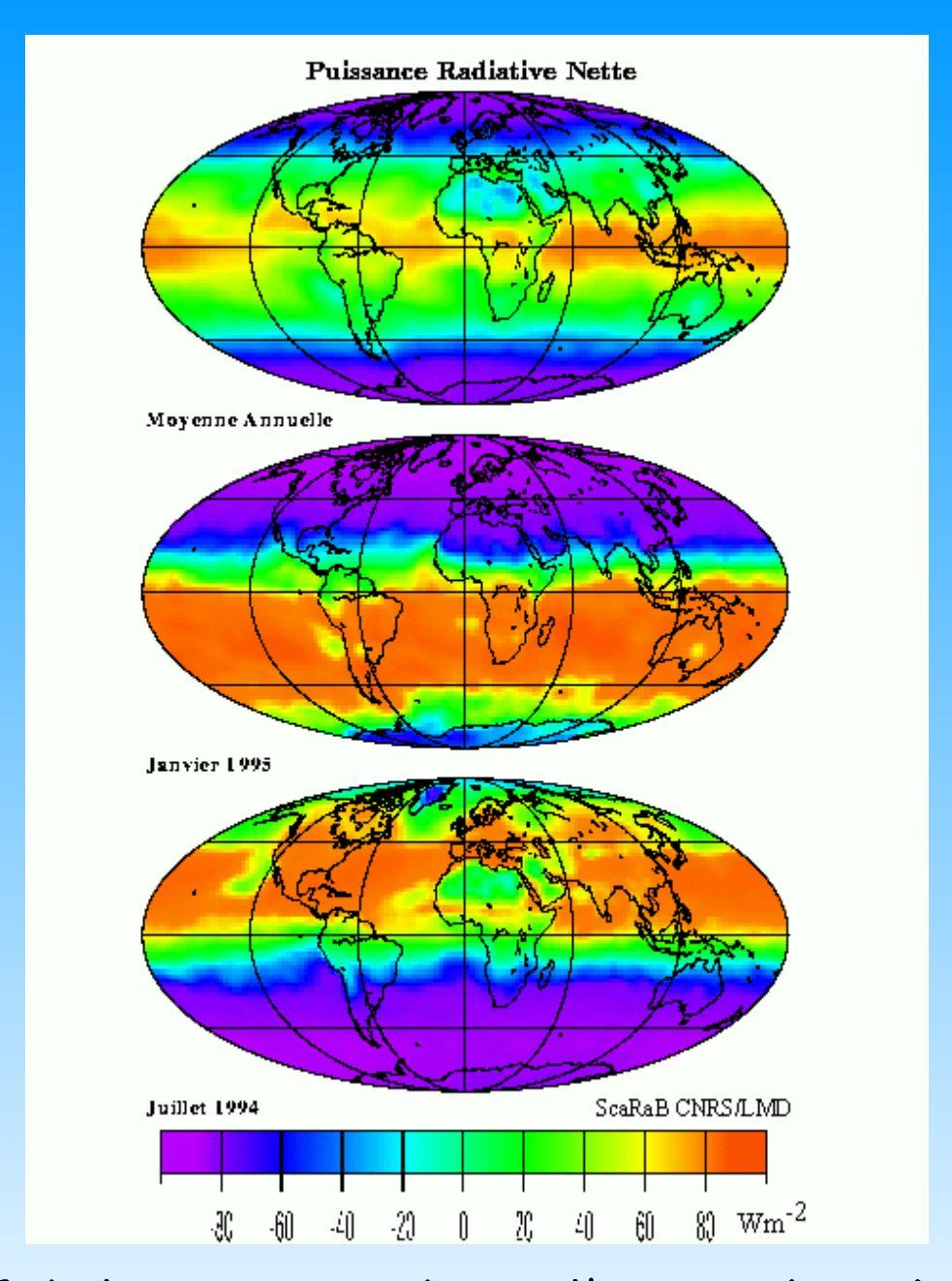






Bilan radiatif de la Terre vue depuis l'espace.

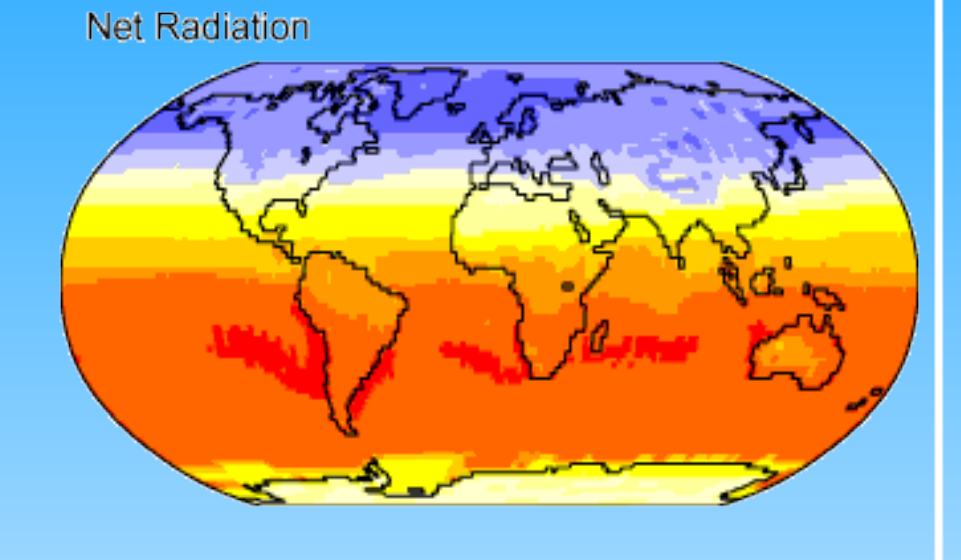
Mesuré directement à l'aide d'un radiomètre embarqué sur satellite. Noter, dans les tropiques, les comportements des zones convectives (faible absorption et émission) et des océans (forte absorption et émission)

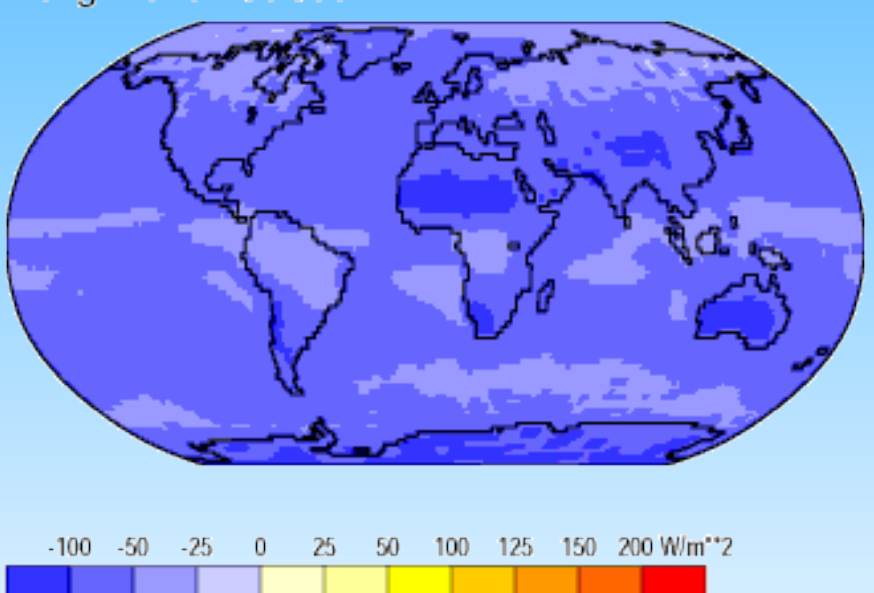


Bilan radiatif de la Terre vue depuis l'espace (suite) Mesuré directement à l'aide d'un radiomètre embarqué sur satellite. Noter les compensations dans la zone tropicale.

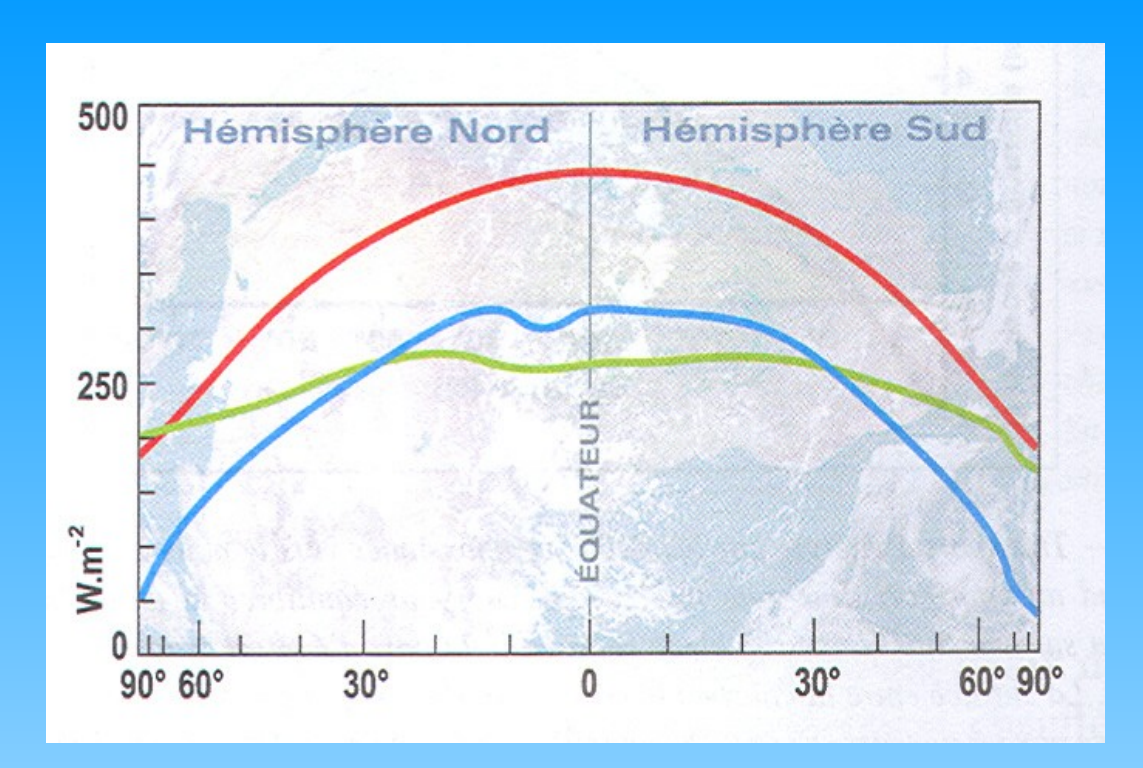
# Short-Wave Radiation Long-Wave Radiation







Data: NCEP/NCAR Reanalysis Project, 1959-1997 Climatologies Animation: Department of Geography, University of Oregon, March 2000



#### Bilan radiatif de la Terre

rouge: rayonnement solaire reçu au sommet de l'atmosphère

bleu: rayonnement solaire absorbé

vert: rayonnement IR émis vers l'espace

Excès aux basses latitudes et déficit aux hautes latitudes: -> nécesité d'un transport de chaleur des basses vers les hautes latitudes.

[Malardel, 2005; Gill, 1982]

# Transport d'énergie par les fluides géophysiques

rouge: transport total

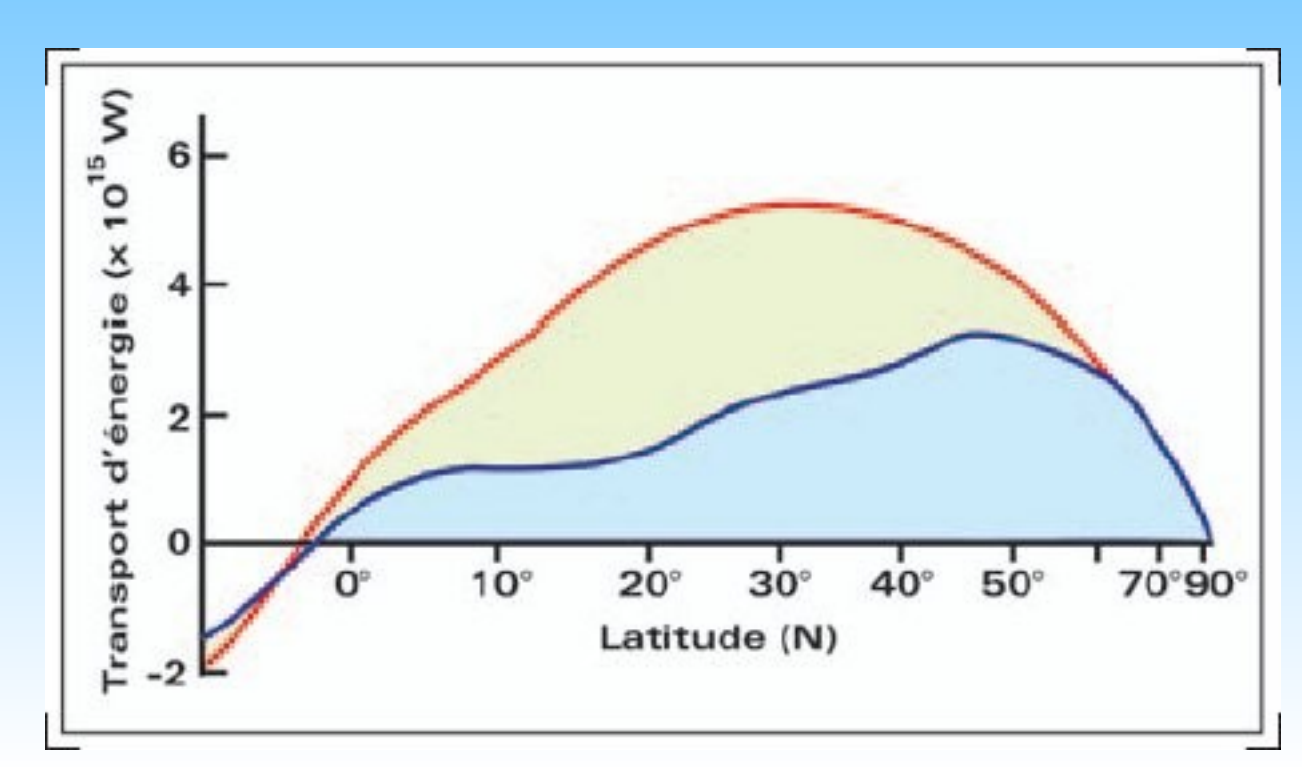
bleu: transport de chaleur par

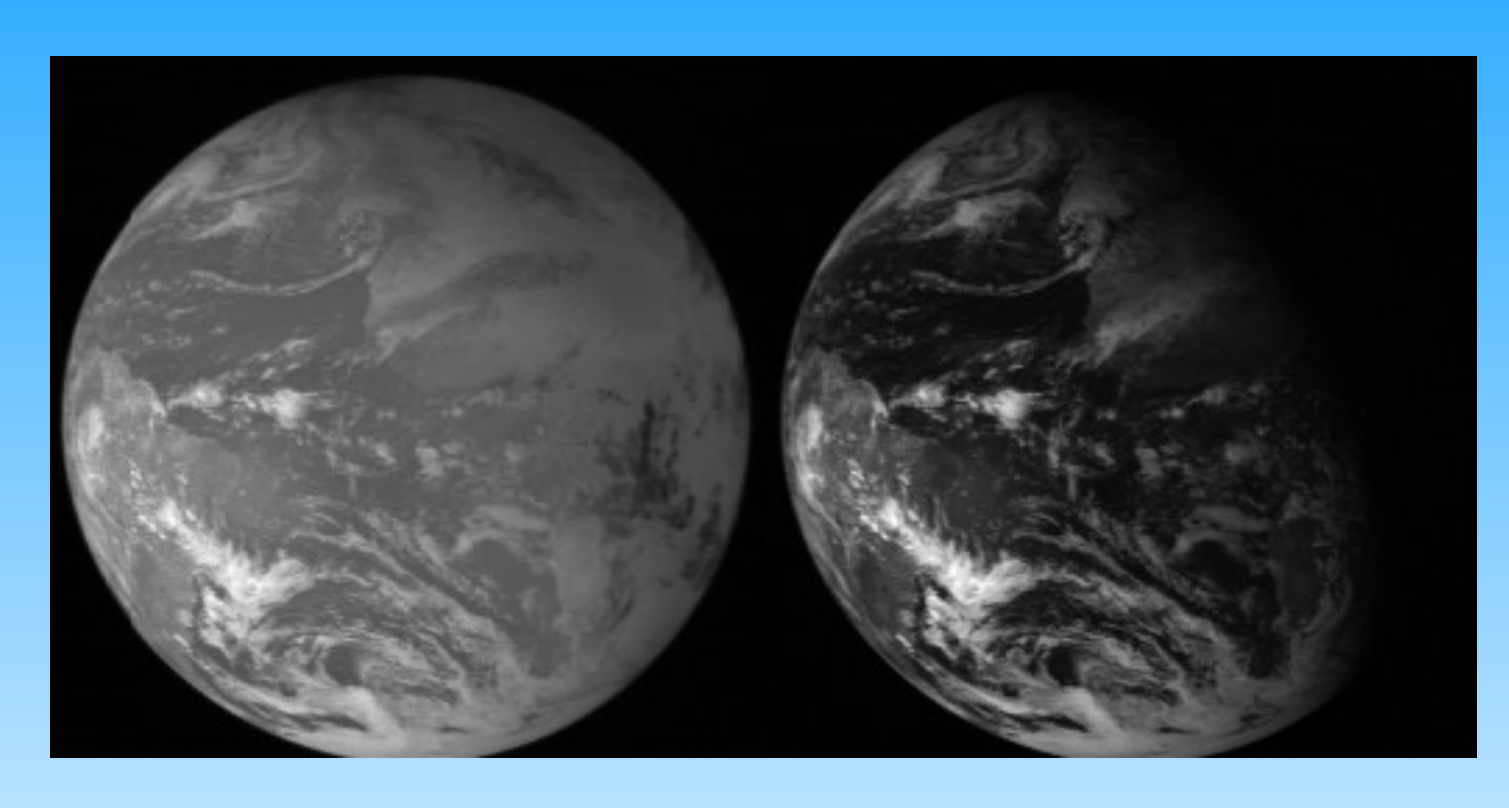
l'atmosphère

Entre la courbe bleu et la courbe rouge:

transport par l'océan

L'atmosphère et l'océan réalisent chacun à peu près la moitié du transport.





Bilan radiatif total (sortant-entrant) Canal visible

#### III.6 Effet des nuages

Dans la partie éclairée de la Terre, le bilan radiatif des nuages est dominé par la réflexion du rayonnement incident. Dans la nuit, l'effet dominant des nuages est de faire écran à l'émission IR.

### Effet des nuages sur le bilan radiatif

(calculé sur chaque pixel comme: <moyenne des cas avec nuage> - <moyenne des cas avec ciel clair>,

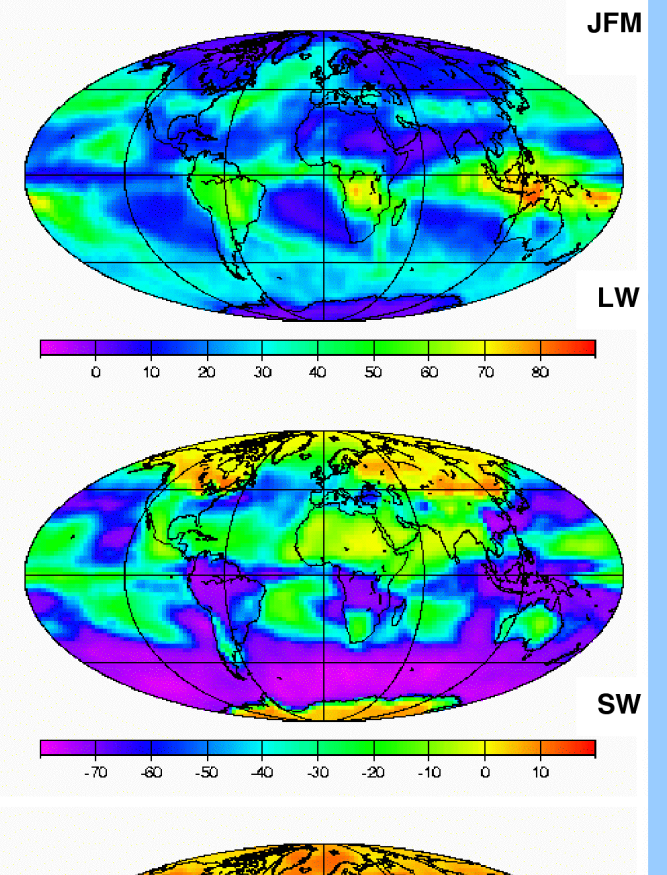
flux compté positif dans le sens descendant)

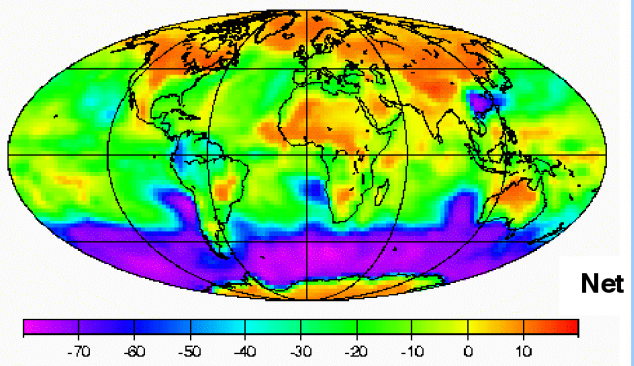
Moyenne sur l'hiver 1999 (DJF) en W m<sup>-2</sup> données ScaRaB LMD

Ondes longues (infra-rouge)

Ondes courtes (visible)

Bilan (somme ondes courtes et longues)





Dans les zones de nuages hauts et froids la faible émission IR des nuages (par rapport au sol) a un effet positif sur le bilan radiatif (la perte est plus faible). Faible effet dans les zones de nuages bas.

La réflexion par les nuages fait qu'il ont dans le visible une contribution négative au bilan radiatif. Les nuages hauts (glacés) sont les plus réfléchissants. Aux latitudes tempérées, les nuages limitent l'absorption au dessus des océans (rôle négatif) et limitent la réflexion au dessus des continents (rôle positif). Dans le bilan total, les effets positifs et négatifs se compensent presque entièrement dans la zone tropicale.

#### Introduction

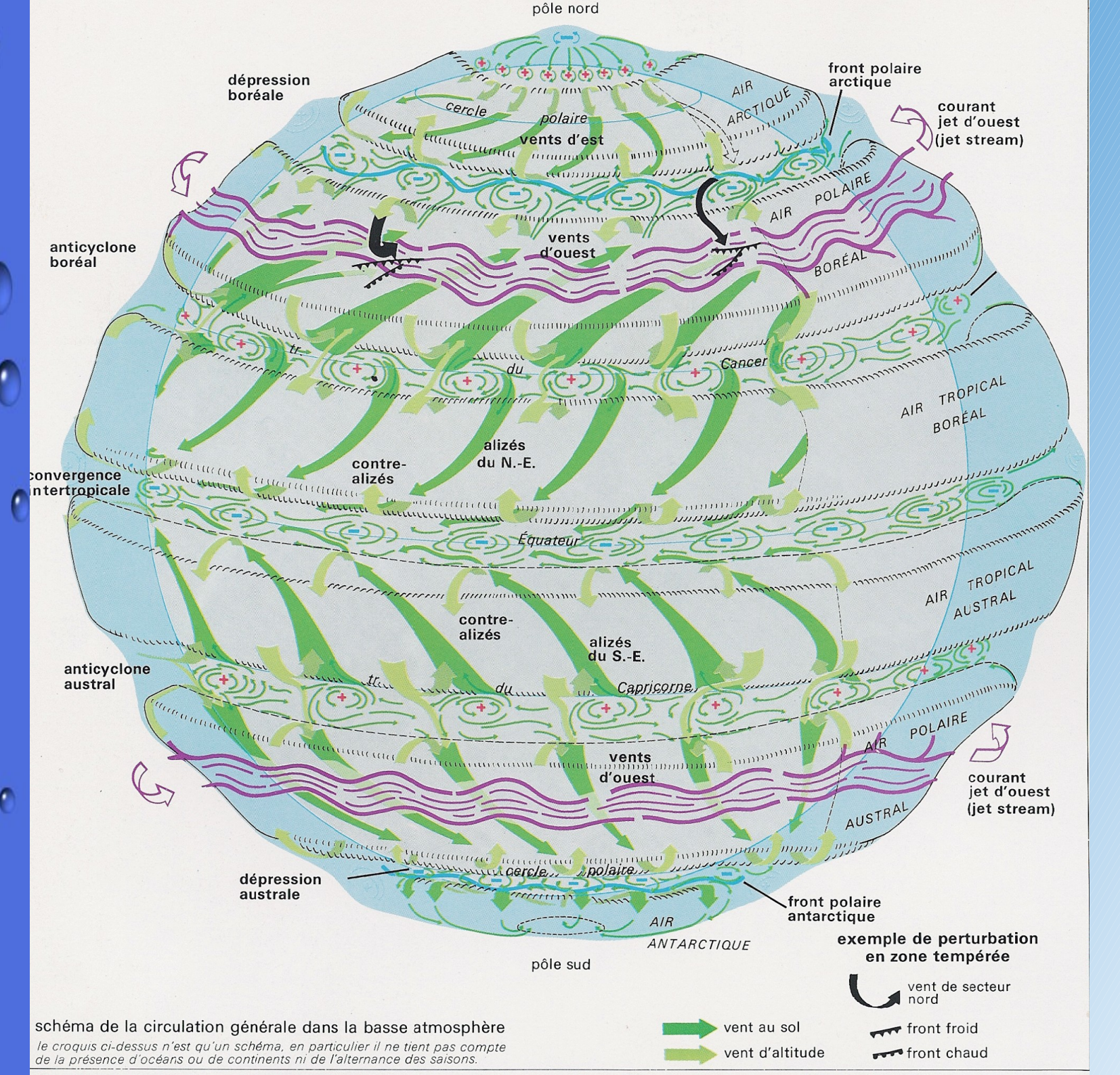
I L'atmosphère stratifiée

II Les nuages

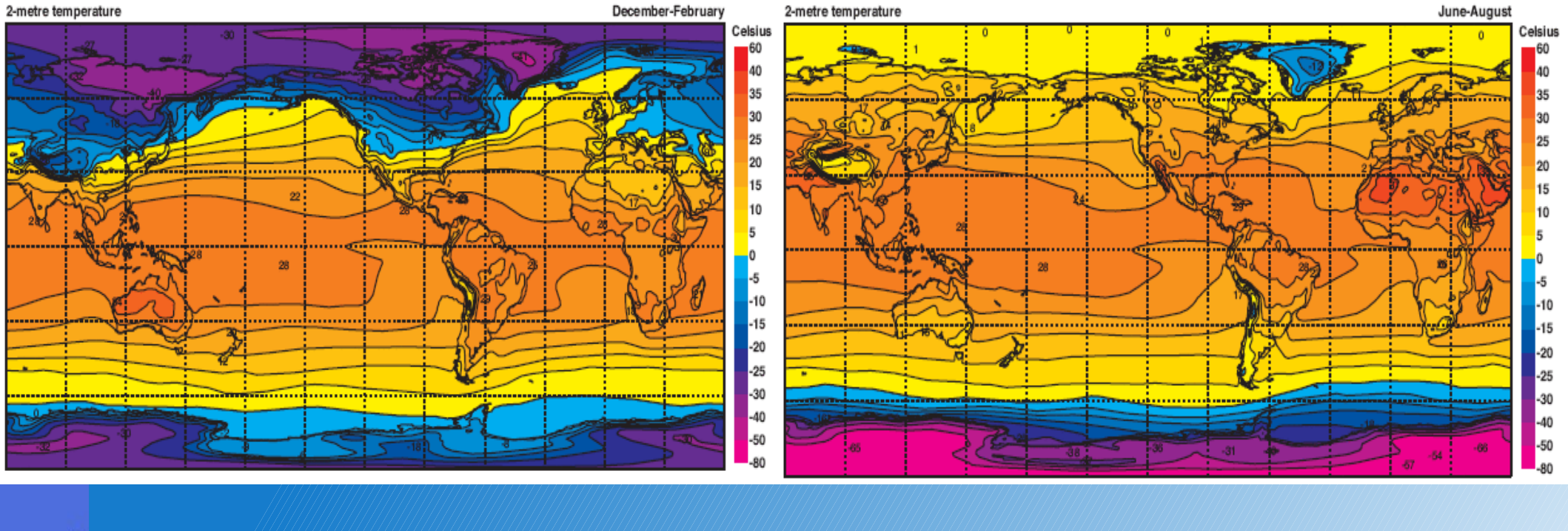
III Le bilan radiatif

IV Circulation atmosphérique de grande échelle

V Les cyclones tropicaux



Les climats de la Terre selon un atlas de géographie

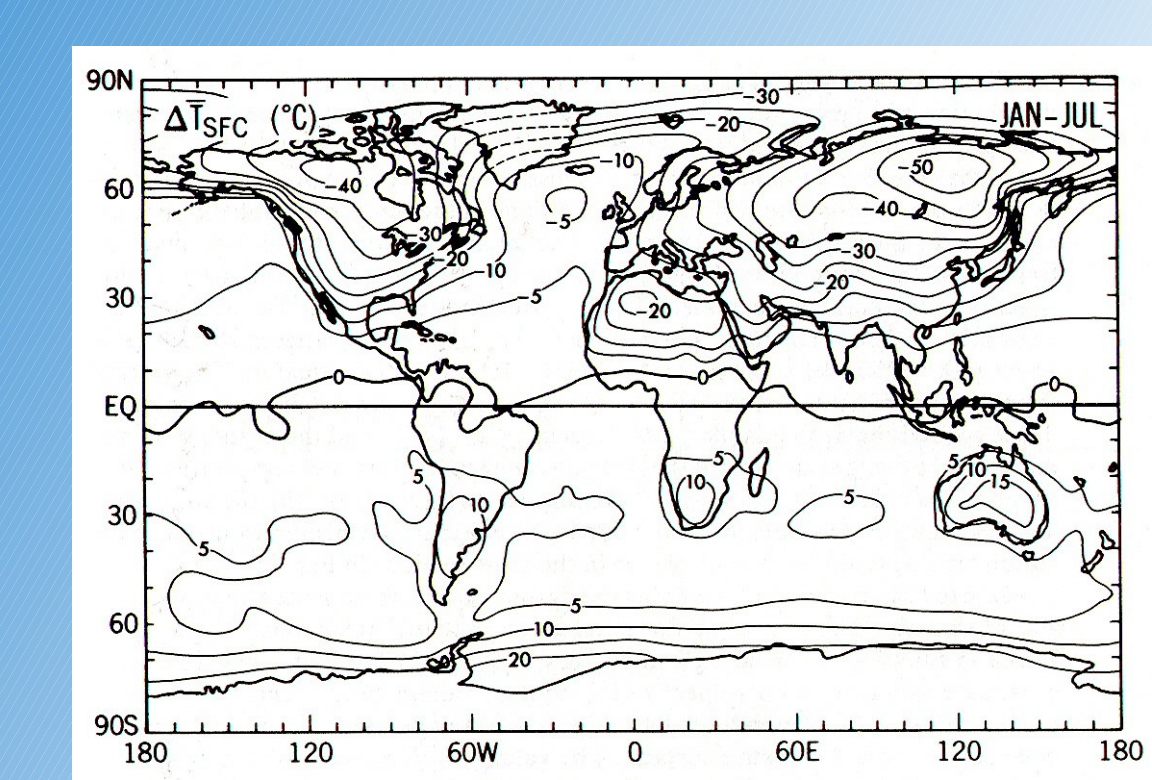


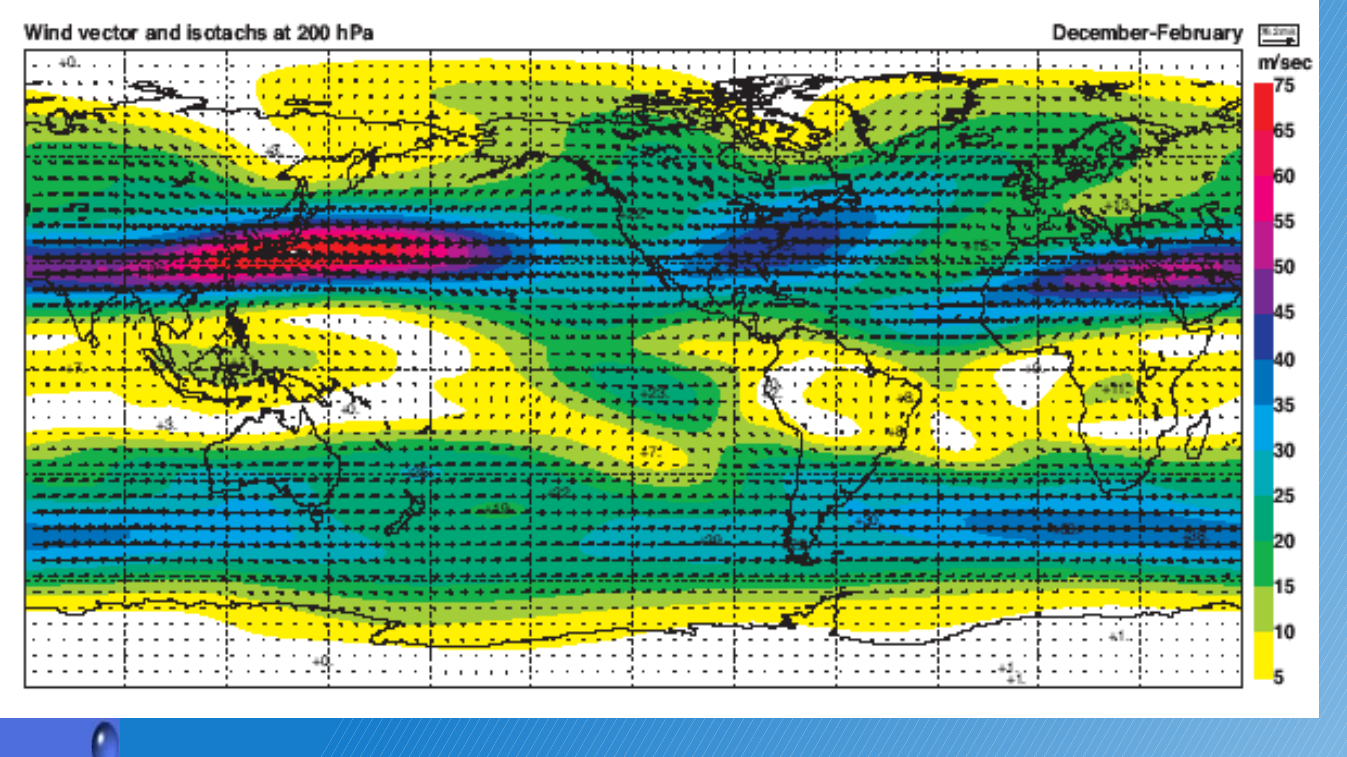
## Température de l'hiver et de l'été au niveau du sol et écarts

Continents chauds en été et froids en hiver. Relativement aux continents, océans froids en été et chaud en hiver.

Forts écarts été-hiver dans les zones continentales,

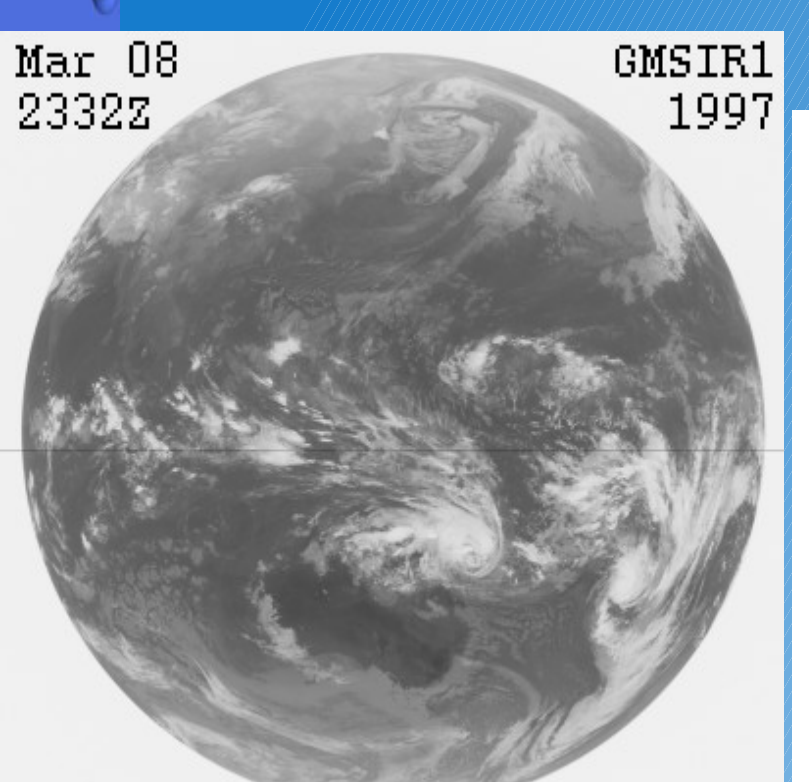
faibles écarts dans les océans. Isotherme 0 à très haute latitude dans l'Atlantique. Forts gradients de température au large du Labrador et du Japon, surtout en hiver.

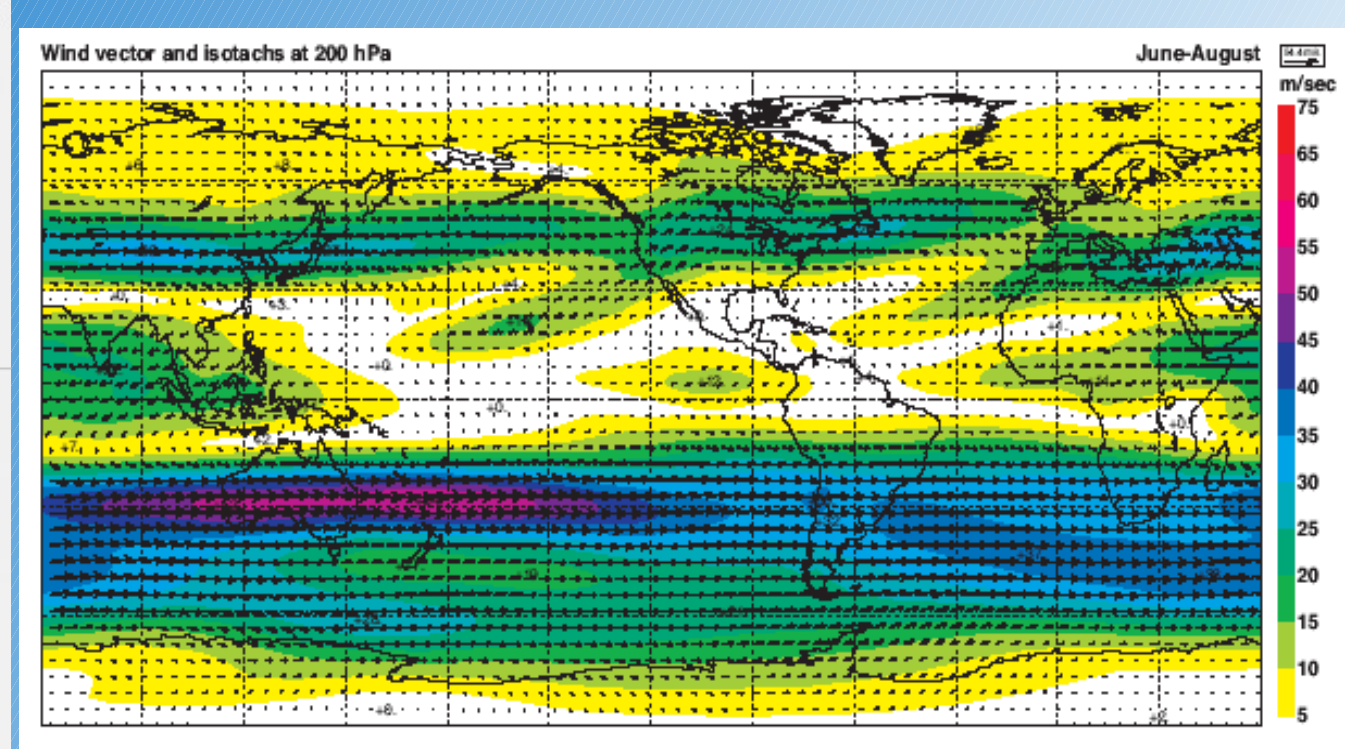


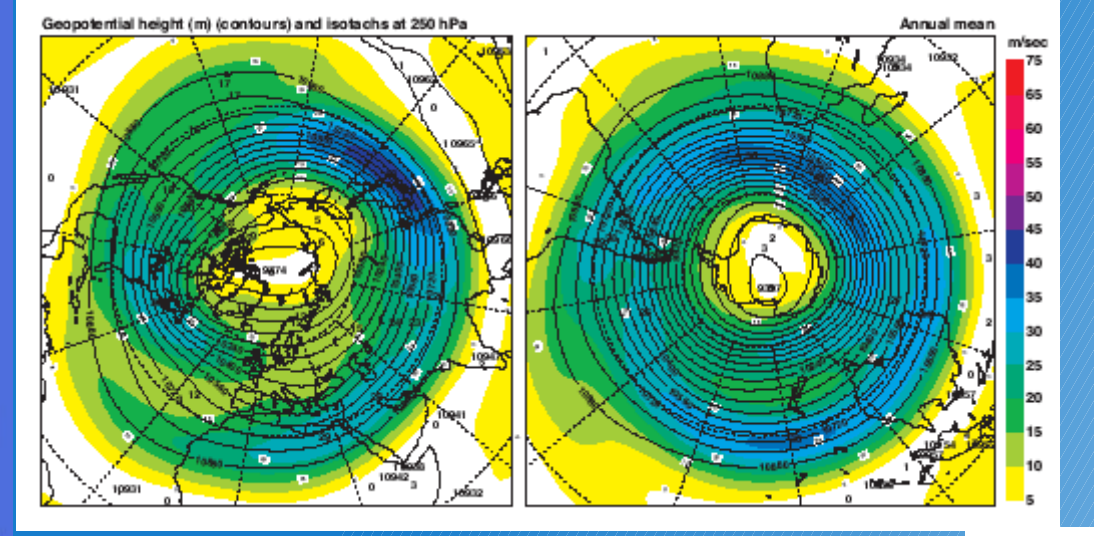


# Circulation moyenne en janvier et juillet

Vents d'ouest aux latitudes tempérées, plus forts en hiver qu'en été.
Noter: Jet d'altitude maximum là où le gradient de température au sol est maximum (Relation du vent thermique).







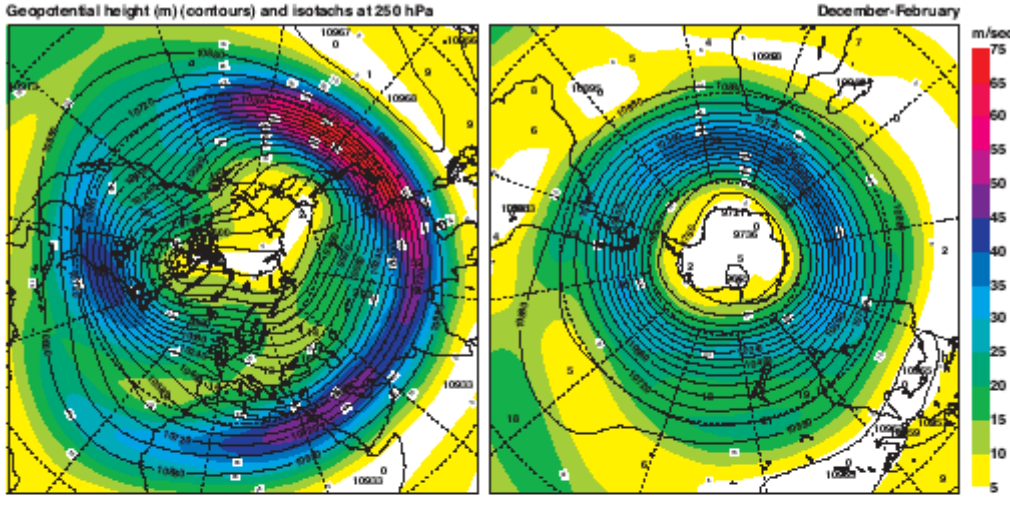
#### Géopotentiel et vent zonal à 250 hPa

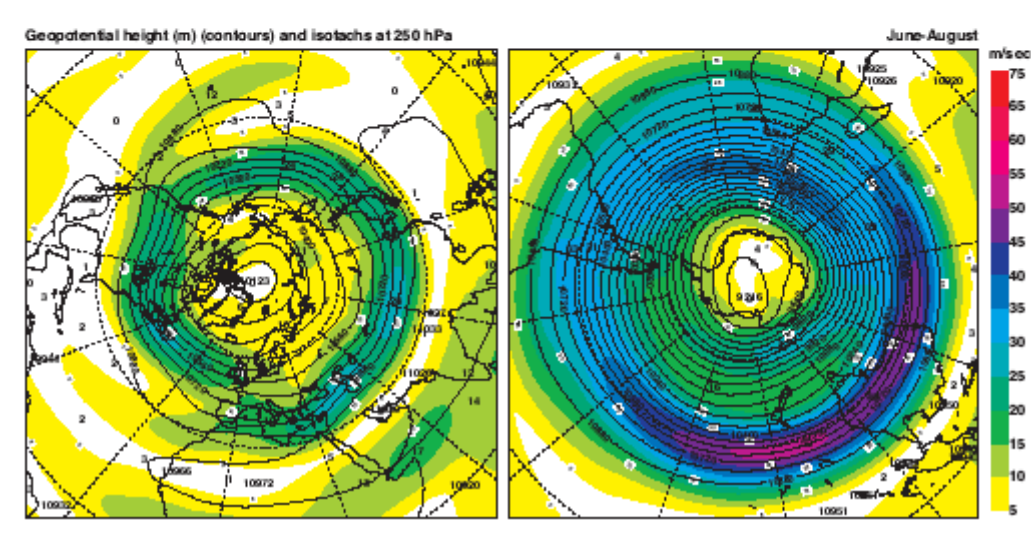
Le géopotentiel  $\Phi(x,y,p,t)$  est l'altitude de la surface de pression p.

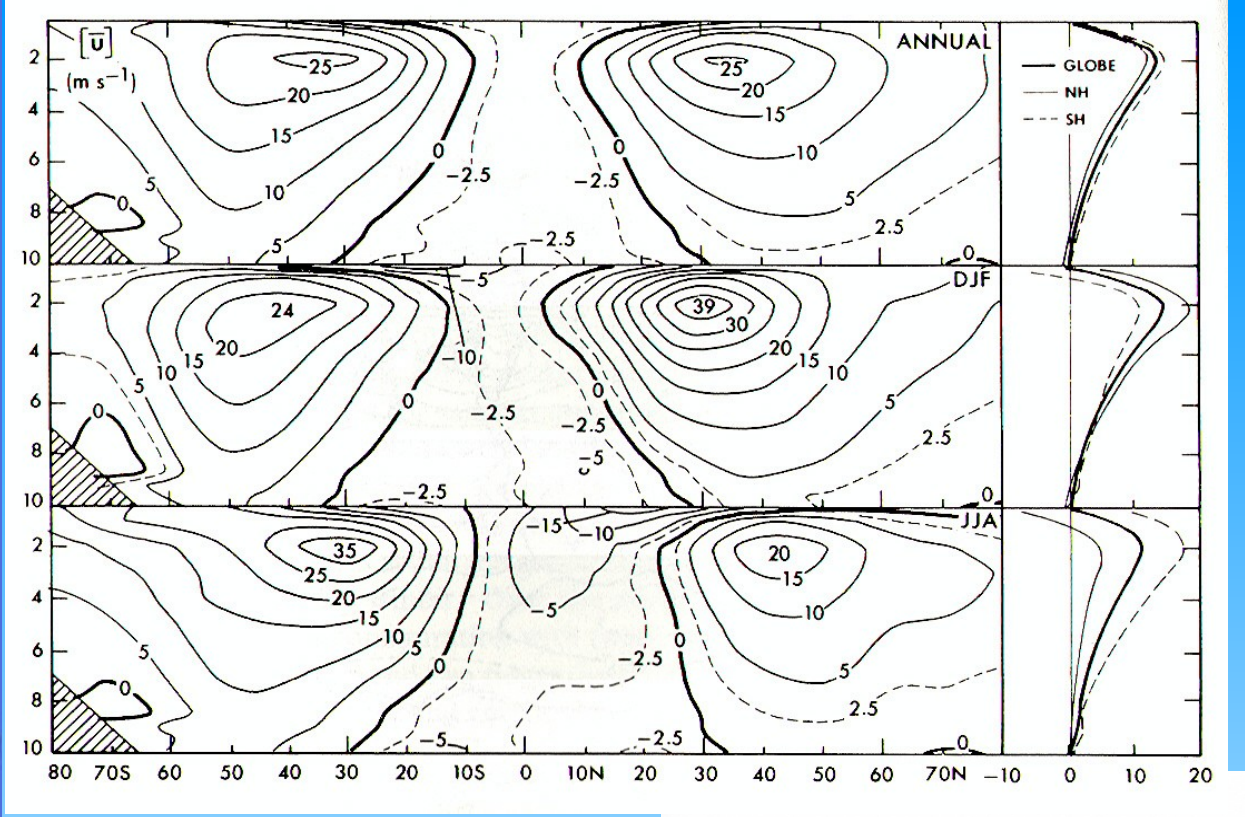
C'est une quantité que l'on mesurer à partir d'un <u>radiosondage</u> donnant le profil de température en fonction de la pression et en intégrant depuis le sol l'équation hydrostatique ( $dp/dz + \rho g = 0$ ).

Les contours du géopotentiel moyen sont circumpolaire; l'altitude de la surface p=250 hPa est plus faible aux pôles qu'à l'équateur.

Le vent est plus intense là où les contours de géopotentiel sont plus serrés (vent géostrophique dû à l'équilibre entre force de pression et force de Coriolis).

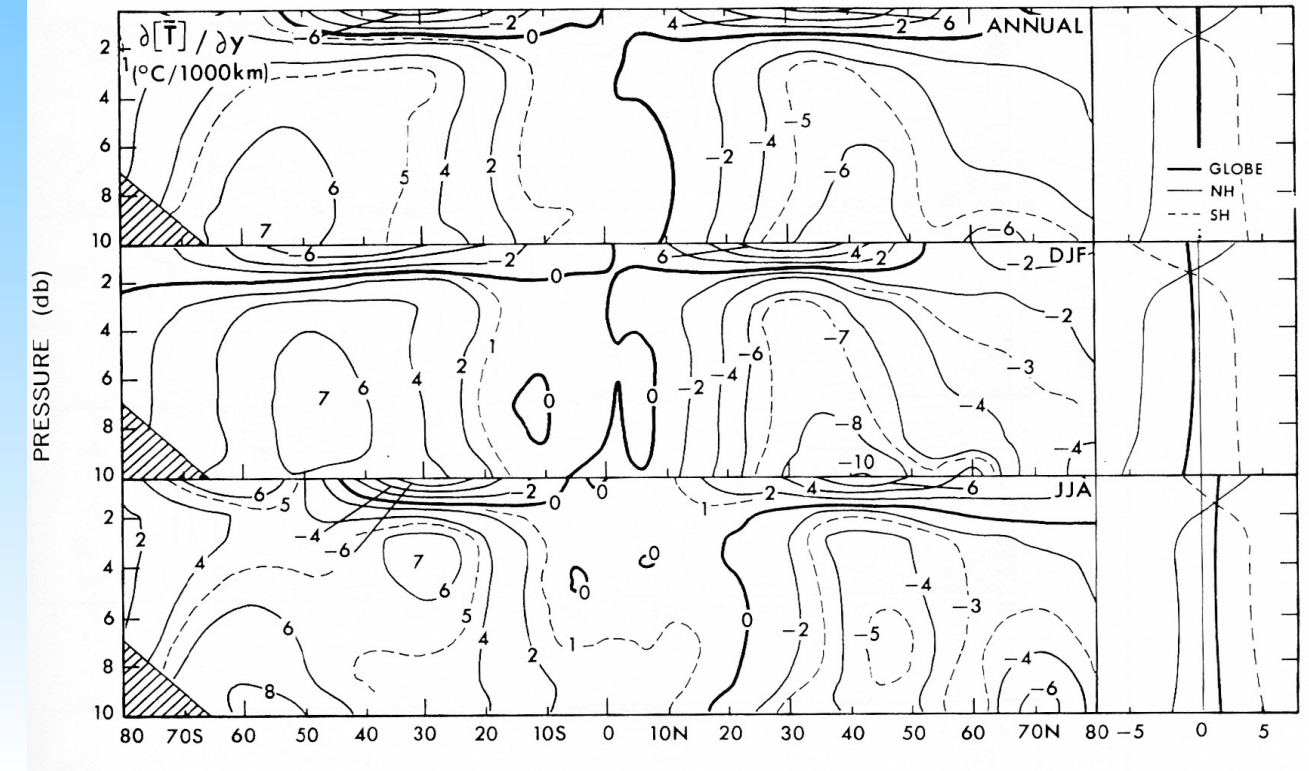


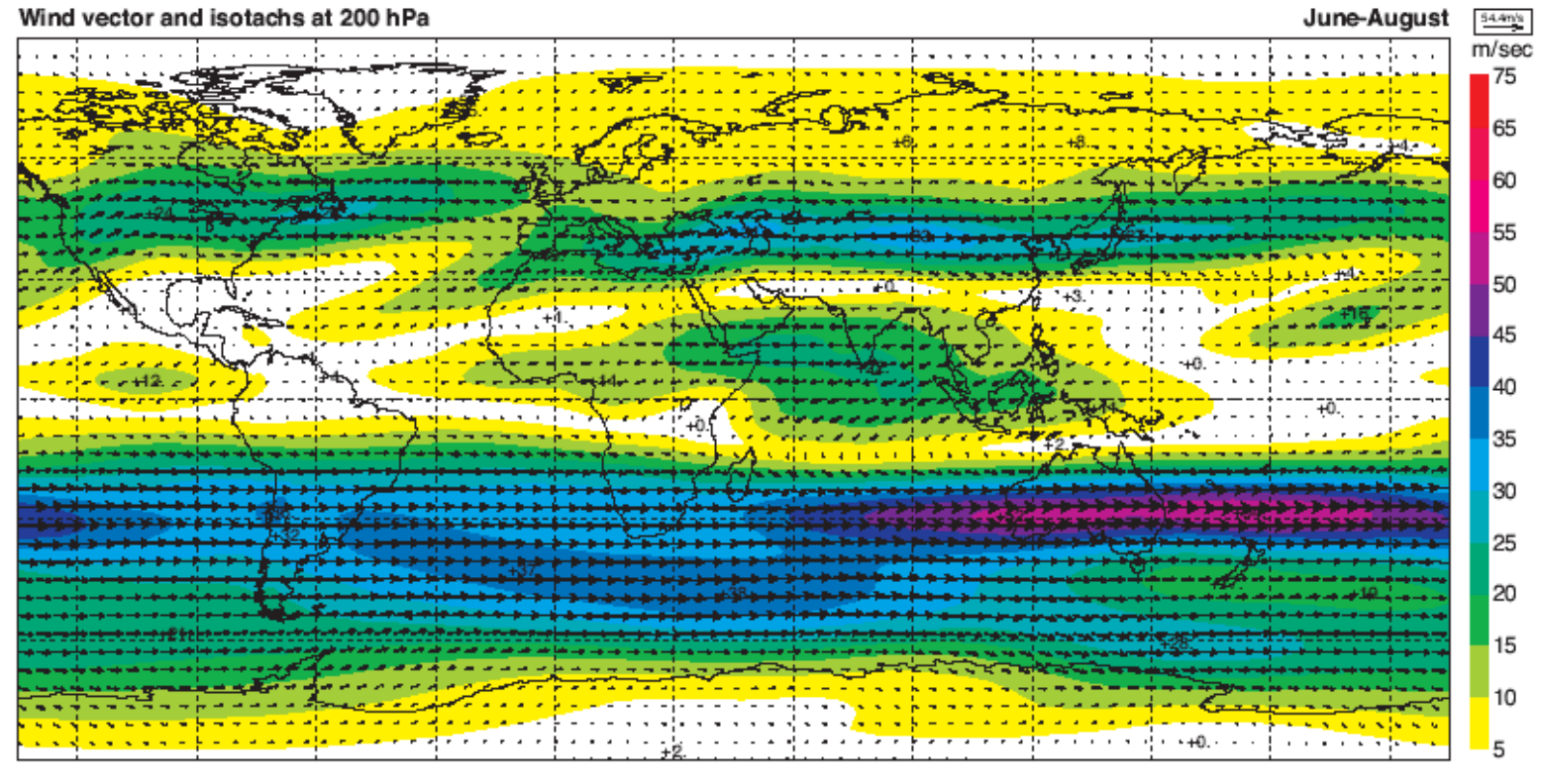




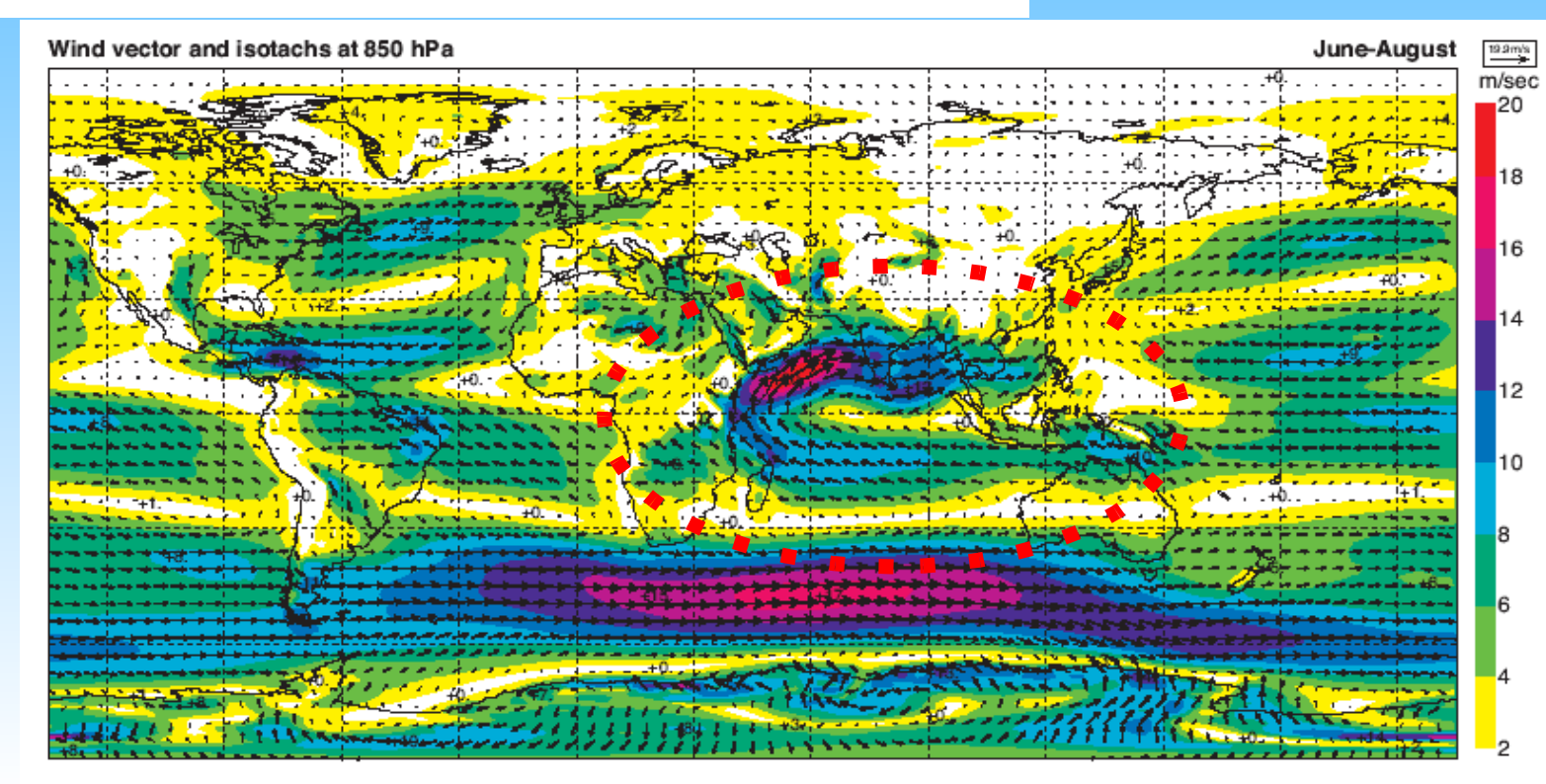
Relation entre le gradient vertical du vent et le gradient horizontal de la température aux latitudes tempérées.

(Relation du vent thermique)





Vents alizés, mousson et circulation de Hadley



#### Introduction

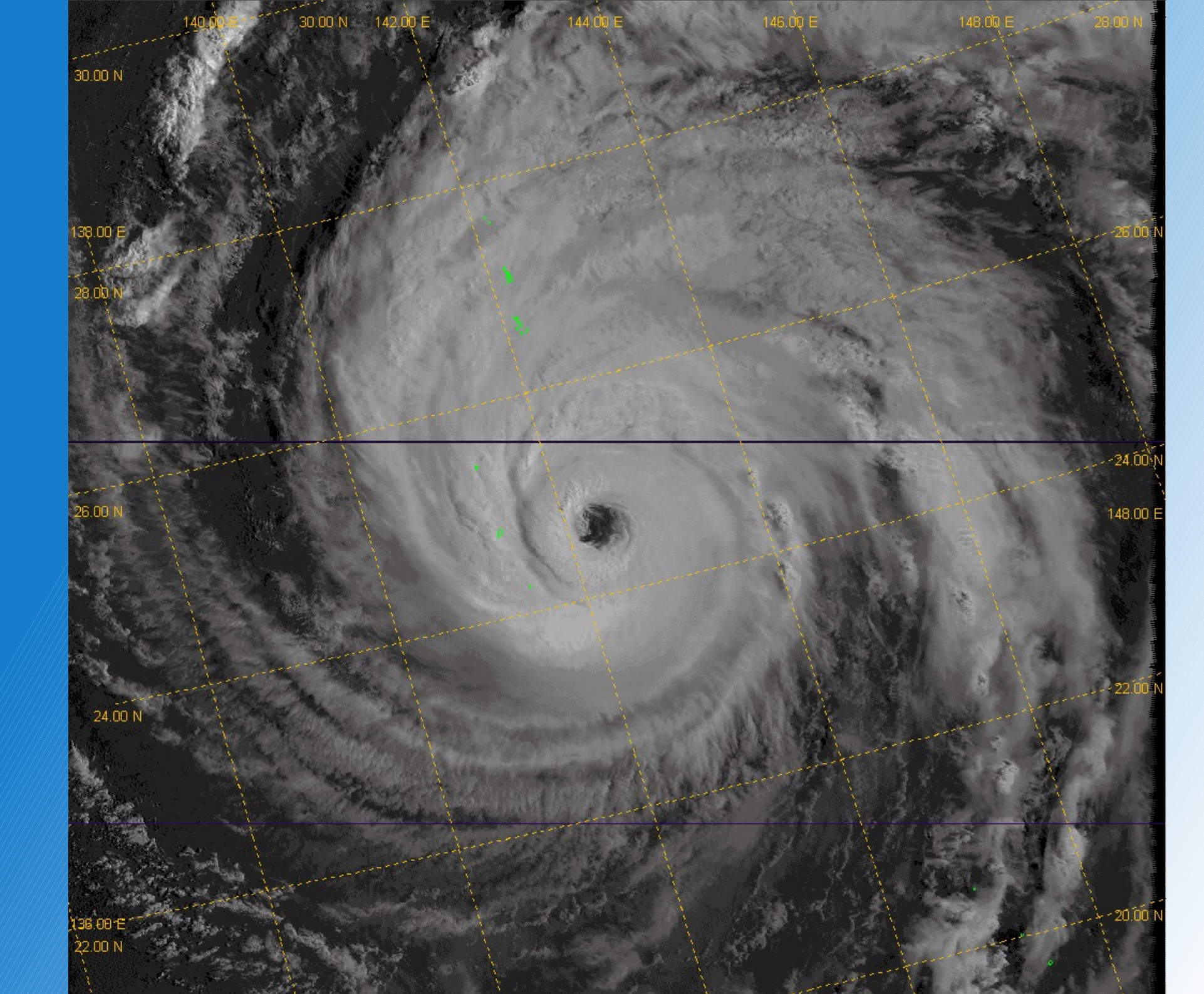
I L'atmosphère stratifiée

II Les nuages

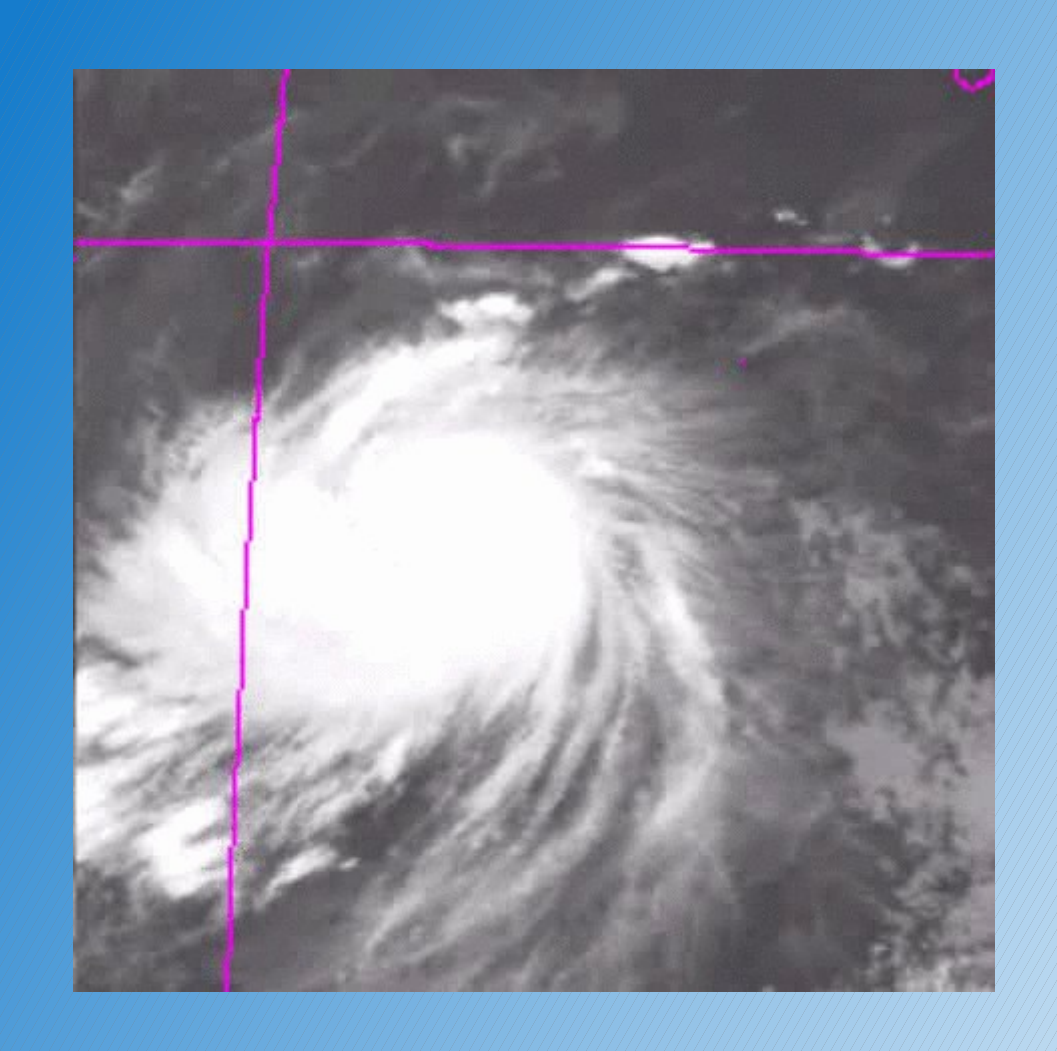
III Le bilan radiatif

IV Circulation atmosphérique de grande échelle

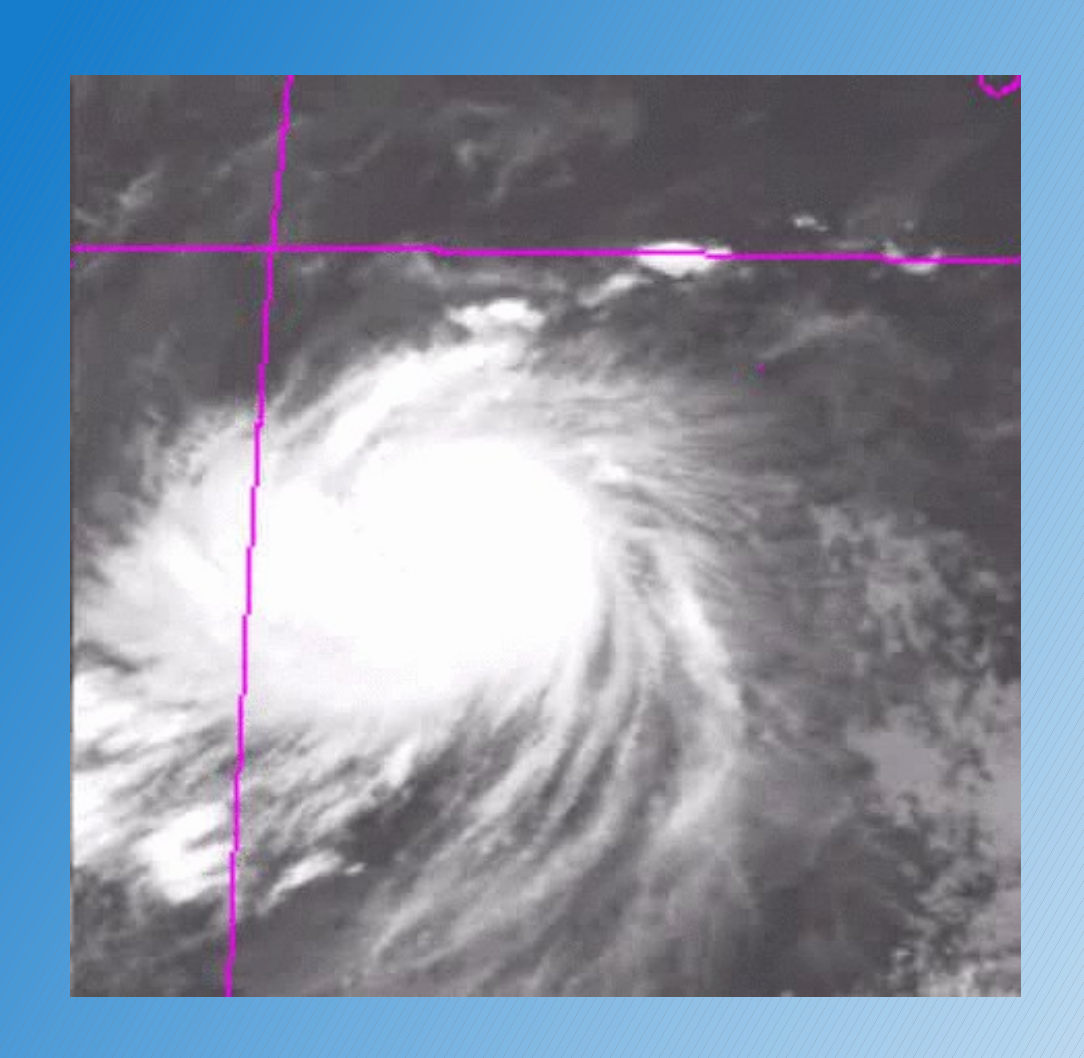
V Les cyclones tropicaux



### Cyclone tropical

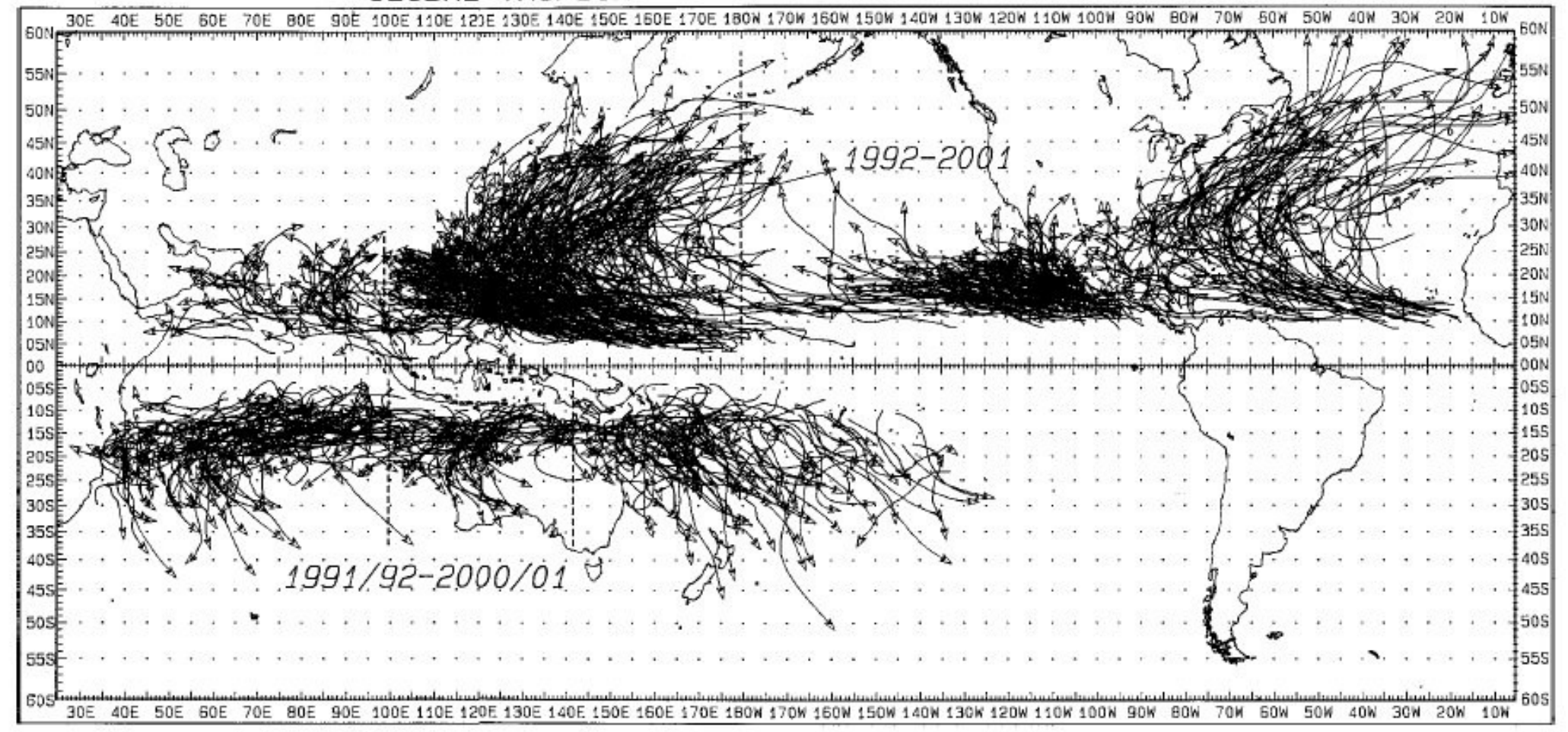


### Cyclone tropical



## Fréquence des cyclones tropicaux (vmax > 17 m/s) sur la période 1992-2001)





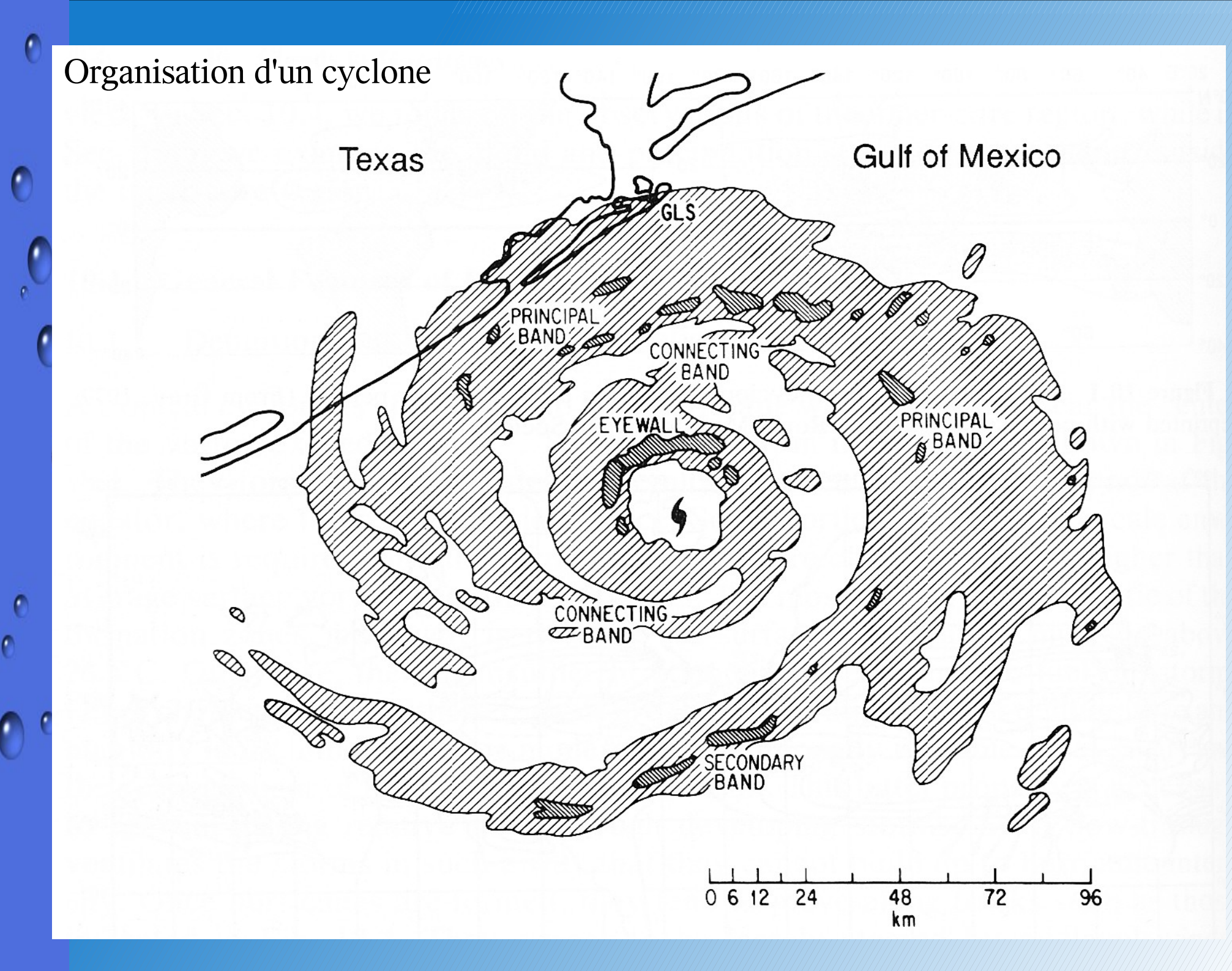
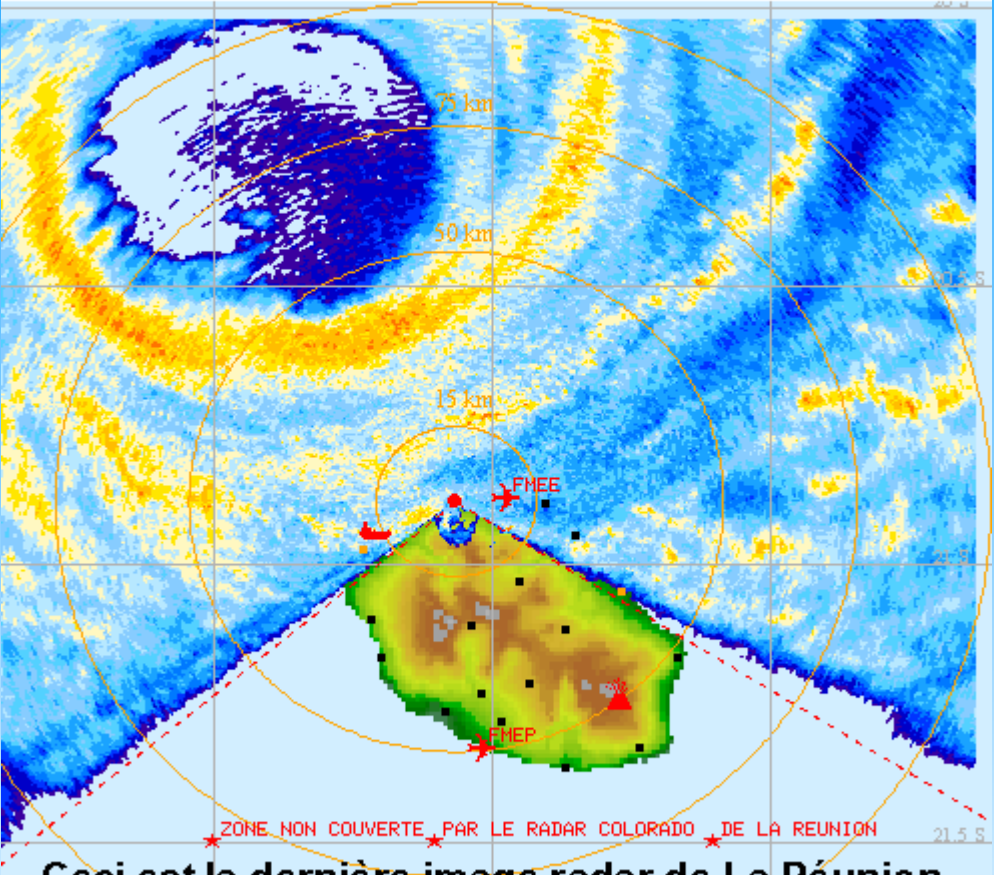
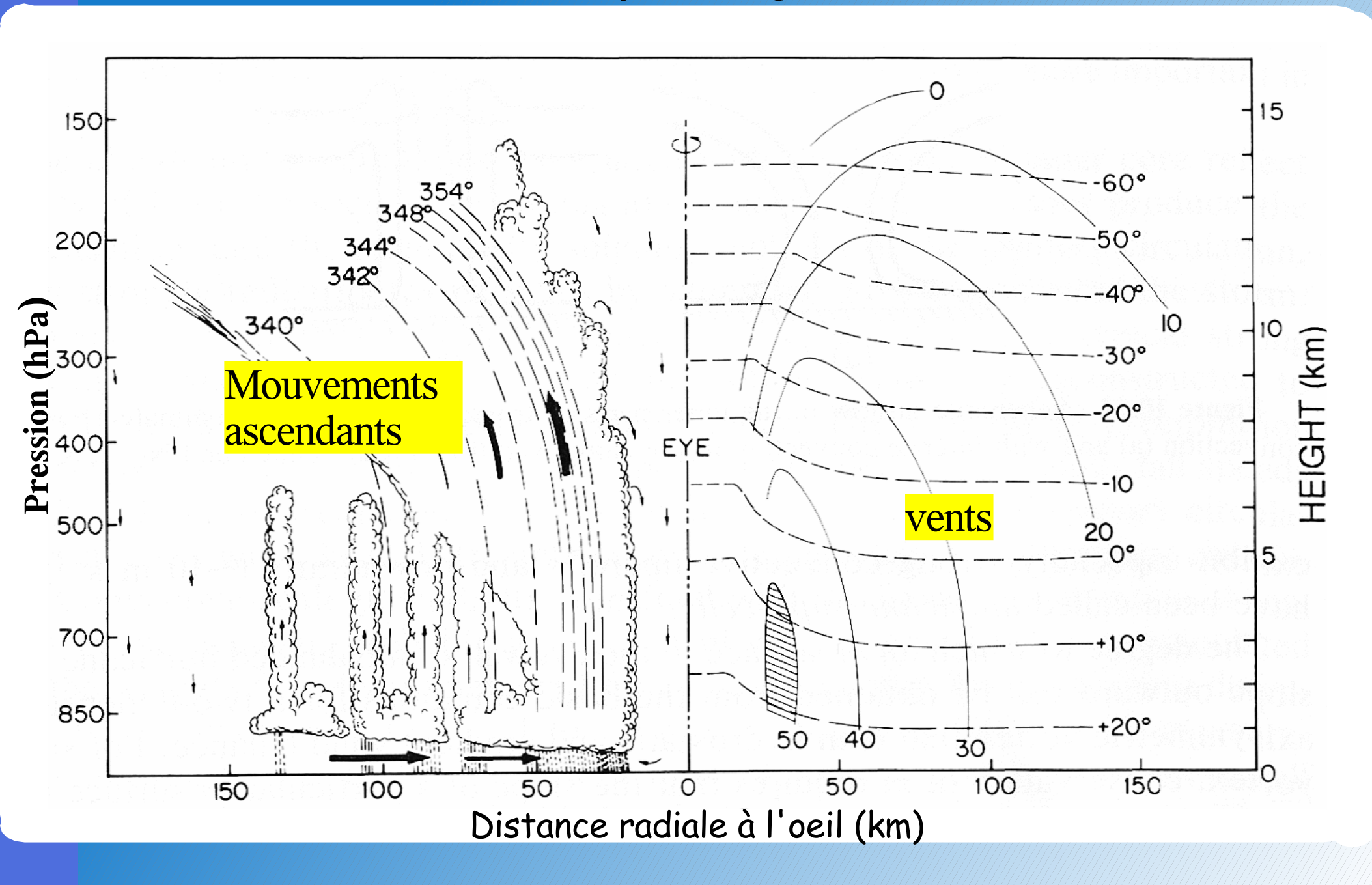


IMAGE DU 22/01/2002 14:51 UTC

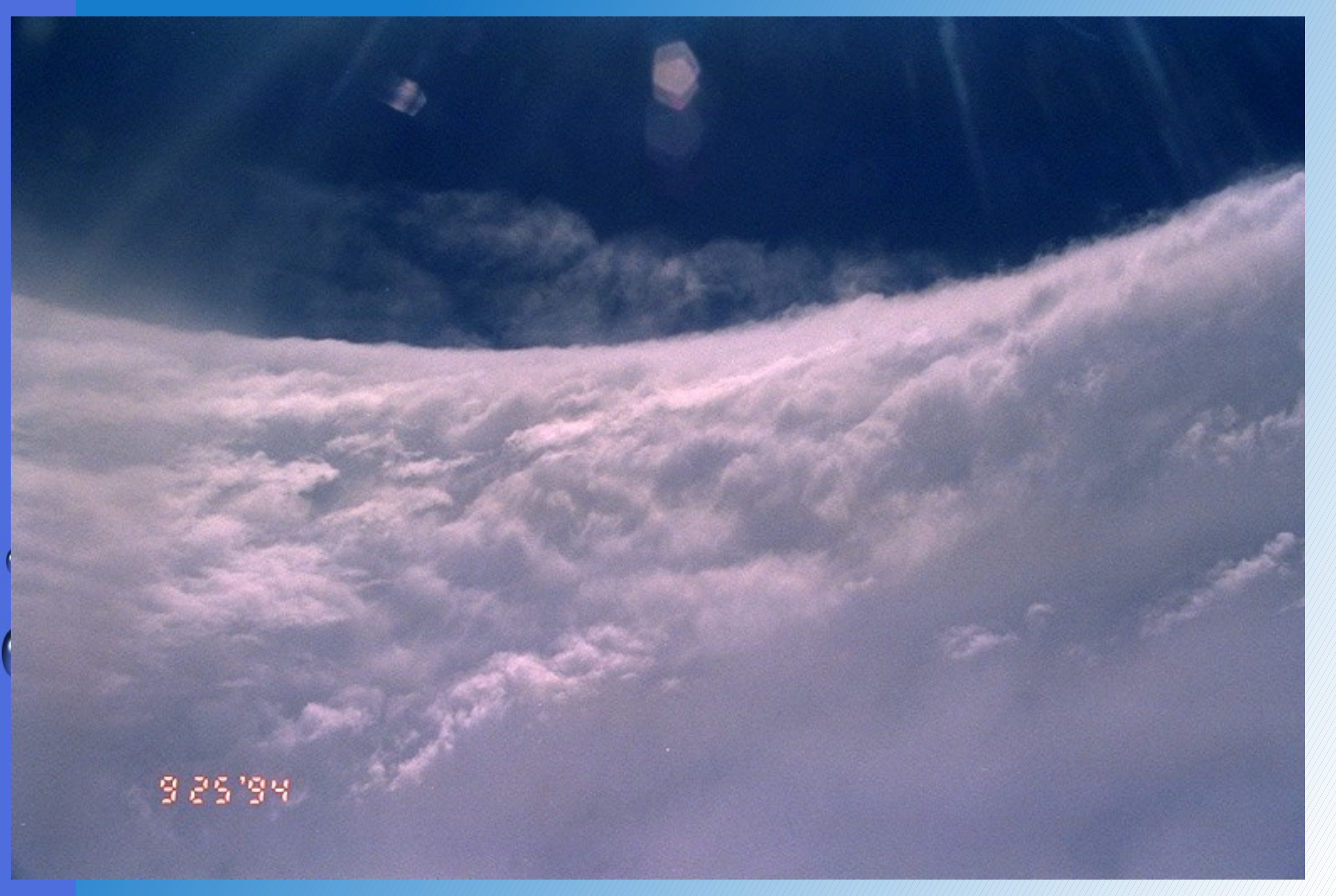
METEO-FRANCE - CMRS DE LA REUNION



Ceci est la dernière image radar de La Réunion Le cyclone DINA a détruit le radar du Colorado



Mur de nuages à l'intérieur de l'oeil du cyclone (photo prise depuis un avion « chasseur de cyclones »)



#### Le cyclone comme machine de Carnot

